



DISEÑO Y CONSTRUCCIÓN DE UNA MÁQUINA PARA REALIZAR ENSAYO DE FATIGA POR FLEXÓN ROTATIVA UTILIZANDO PC

AUTORES:

SIZA SIMBAÑA ROBERTO MARCELO

CHANGO MORETA DAVID MISAEL

DIRECTOR: MSC.ING. JUAN CORREA

CODIRECTOR: MSC.ING. MARCO SINGAÑA

**PROYECTO PREVIO A LA OBTENCIÓN DEL TÍTULO
DE INGENIERO ELECTROMECAÁNICO**

2012



OBJETIVO GENERAL

DISEÑAR Y CONSTRUIR UNA MÁQUINA PARA REALIZAR ENSAYO DE FATIGA POR FLEXIÓN ROTATIVA UTILIZANDO PC.

OBJETIVOS ESPECÍFICOS

- ❖ **Recopilar información sobre el funcionamiento y operación de máquinas para ensayo de fatiga por flexión rotativa, así como realizar un estudio sobre los fundamentos teóricos de la falla por fatiga.**
- ❖ **Diseñar y seleccionar las partes mecánicas, eléctricas y electrónicas que conformarán la máquina.**
- ❖ **Diseñar e implementar el sistema de control de la máquina de ensayos.**
- ❖ **Seleccionar e implementar el sistema de adquisición de datos.**



- ❖ **Construir una máquina que permita realizar el ensayo de fatiga en aceros tales como; acero de construcción, acero de transmisión y algunos aceros especiales, siempre y cuando tengan una resistencia última a la tracción no mayor a 200Kpsi, en la cual se pueda visualizar los diagramas S-N (Resistencia a la fatiga - número de ciclos), tanto real como estimado.**
- ❖ **Encontrar el límite de resistencia a la fatiga estimado, para realizar el diseño de elementos de máquinas que puedan tener mayor confiabilidad y economía.**
- ❖ **Realizar la guía de procedimiento de la práctica en la máquina de ensayo.**



ALCANCES Y METAS.

- ❖ Disponer de una máquina para ensayos de fatiga de viga rotatoria en ciertos materiales de diseño de máquinas.
- ❖ Obtener la visualización de los diagramas S-N real y estimado.
- ❖ Proporcionar datos experimentales de la resistencia a la fatiga.
- ❖ Disponer de información sobre el límite de resistencia a la fatiga estimado.



ESCUELA POLITÉCNICA DEL
EJÉRCITO EXTENSIÓN LATACUNGA

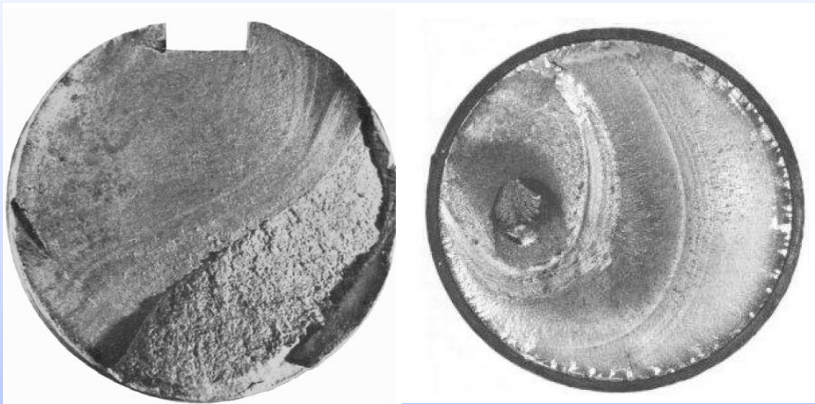
CARRERA DE INGENIERÍA
ELECTROMECAÁNICA



MARCO TEÓRICO



RESEÑA HISTORICA DE LA FATIGA.



<<<<< Roturas en ejes

Barco Liberty >>>>>





ESTUDIO DE LA FATIGA.

- Las fallas suelen ocurrir a niveles de esfuerzo muy por debajo del límite elástico de los materiales, y por lo general se presentan en elementos que están en continuo movimiento.

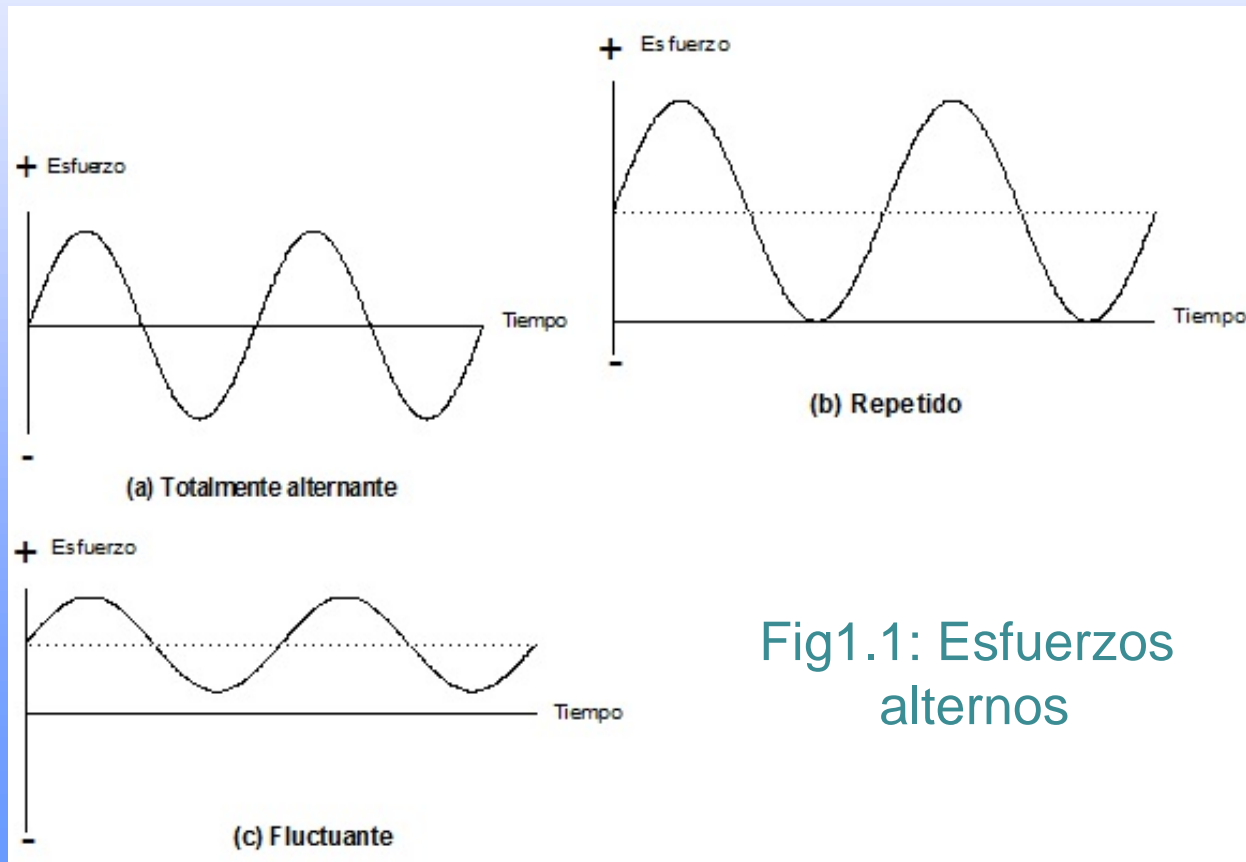


Fig1.1: Esfuerzos
alternos



- Las fallas debidas a fatiga presentan tres etapas o fases: la iniciación de la grieta (corta duración), la propagación de la grieta (larga duración) y la fractura (instantánea).



Fig1.2: Formación de grieta.



Fig1.3: Superficie de rotura por fatiga.



Dentro de los términos más usados en las fallas por fatiga están los de régimen de fatiga de alto ciclaje y régimen de fatiga de bajo ciclaje .

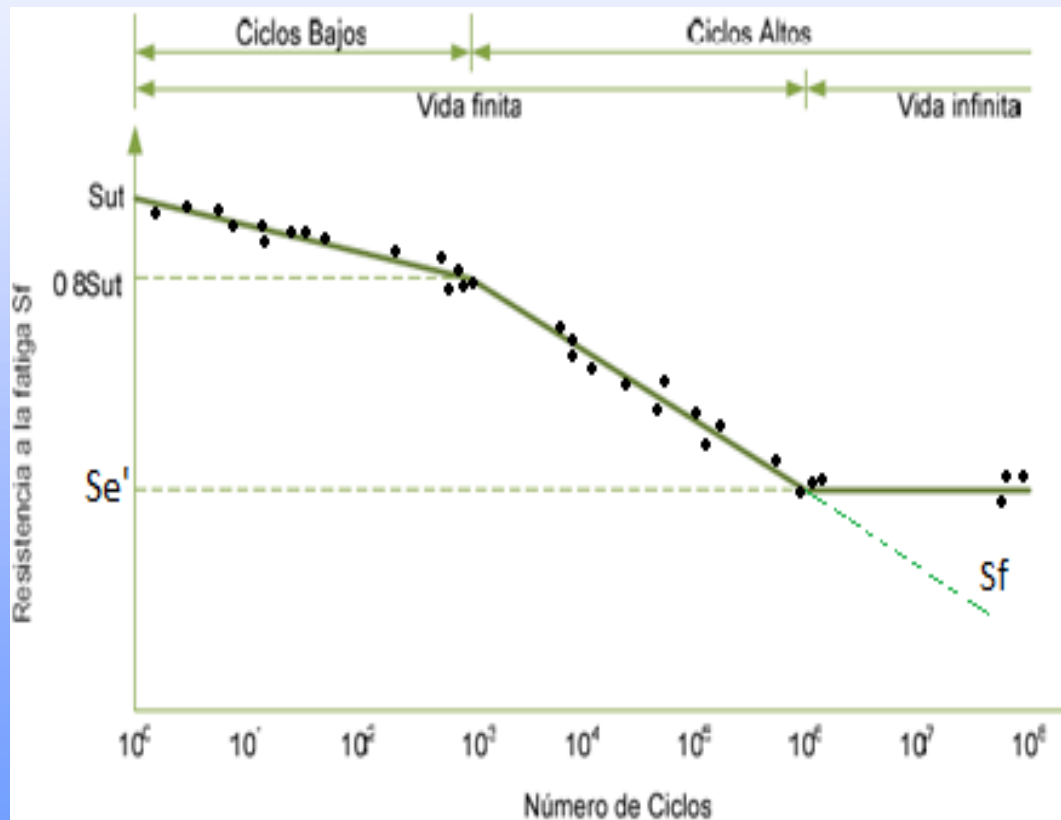


Fig. 1.4: Diagrama S-N(Resistencia a la fatiga-Numero de ciclos)



DIAGRAMAS S-N

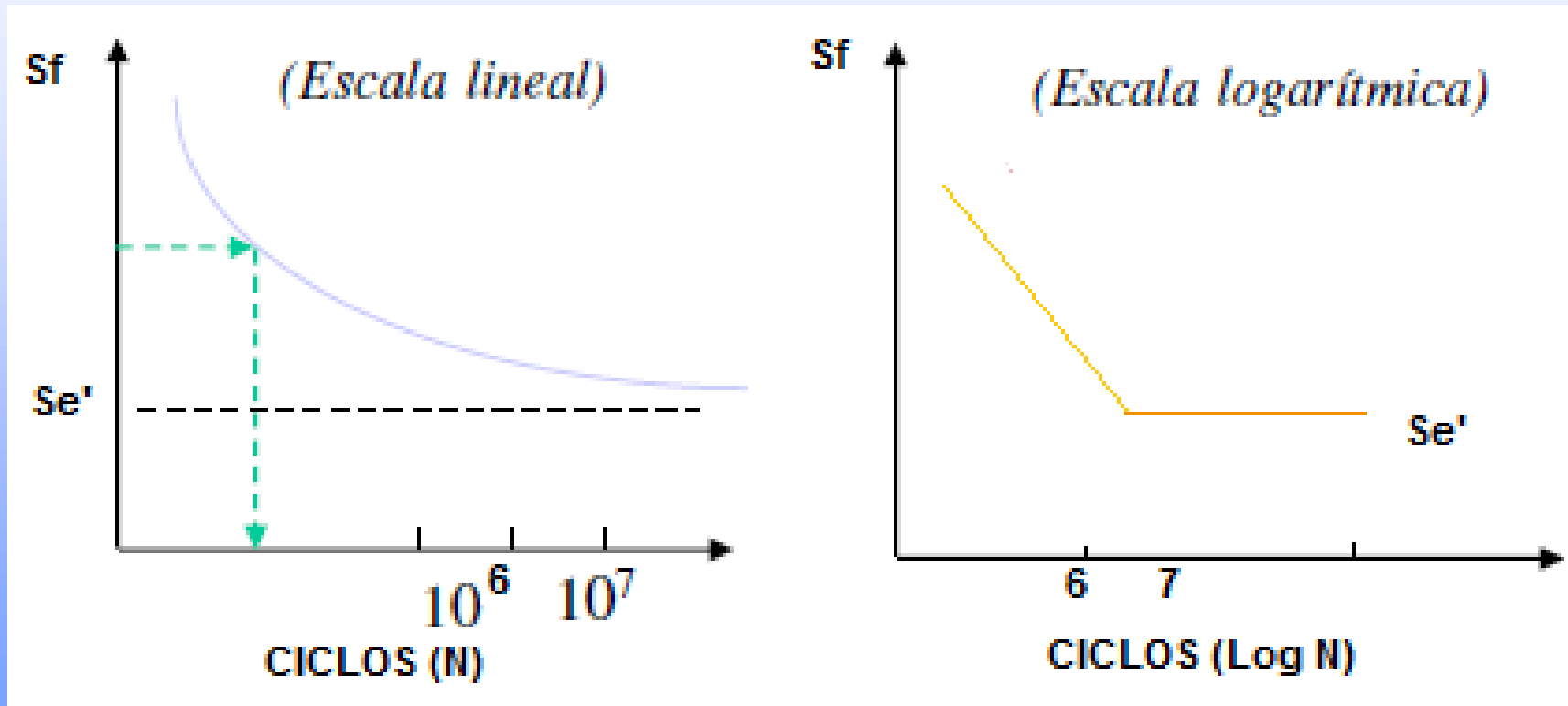


Figura 1.5: Diagramas S-N en escala lineal y logarítmica



DIAGRAMAS S-N ESTIMADOS

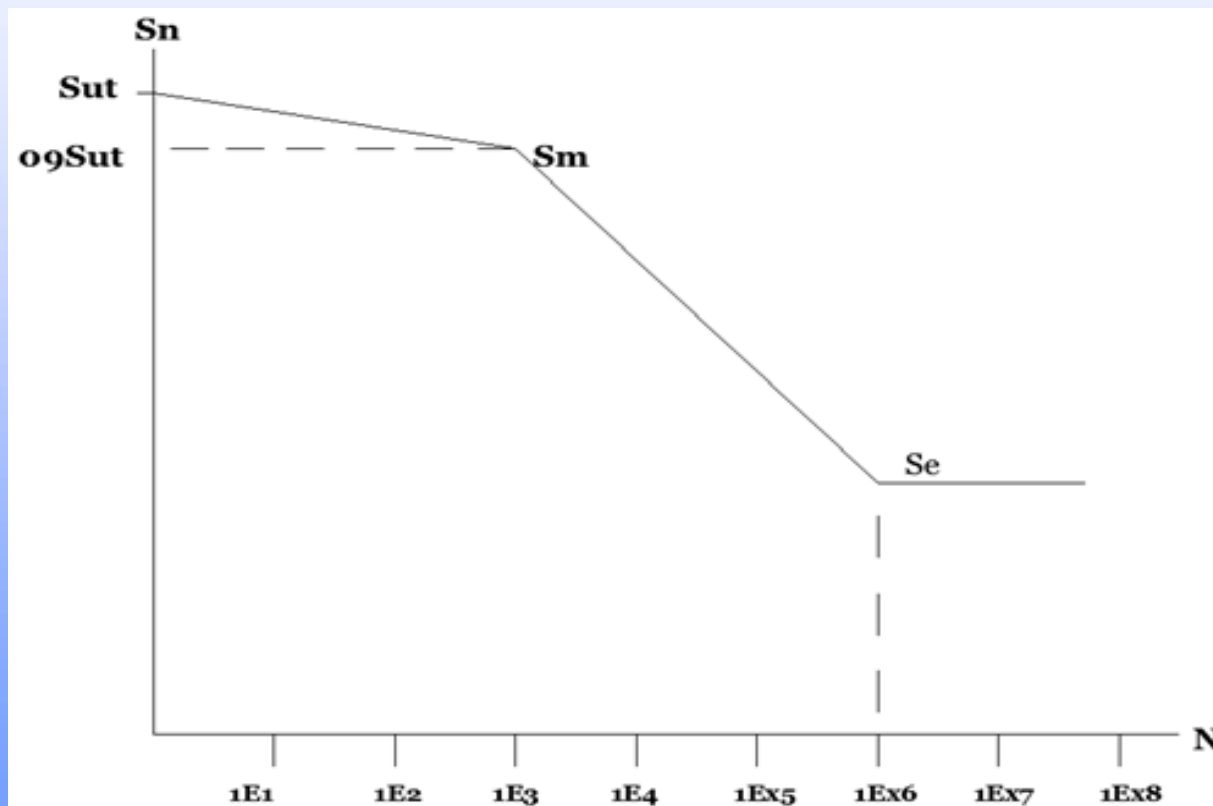


Figura 1.5: Diagrama S-N (Resistencia a la fatiga-Numero de ciclos)



FACTORES DE CORRECCIÓN DEL LÍMITE DE RESISTENCIA A LA FATIGA.

$$S_e = S_e' * k_a * k_b * k_c * k_d * k_e * k_f$$

S_e = Límite de fatiga corregido

S_e' = Límite de resistencia a fatiga de probetas

k_a = Factor de acabado superficial

k_b = Factor de tamaño

k_c = Factor de carga

k_d = Factor de temperatura

k_e = Factor de confiabilidad

k_f = Factor efectos varios

ESTUDIO DE FUNCIONAMIENTO DE LA MÁQUINA PARA ENSAYOS DE FATIGA POR FLEXIÓN ROTATIVA.

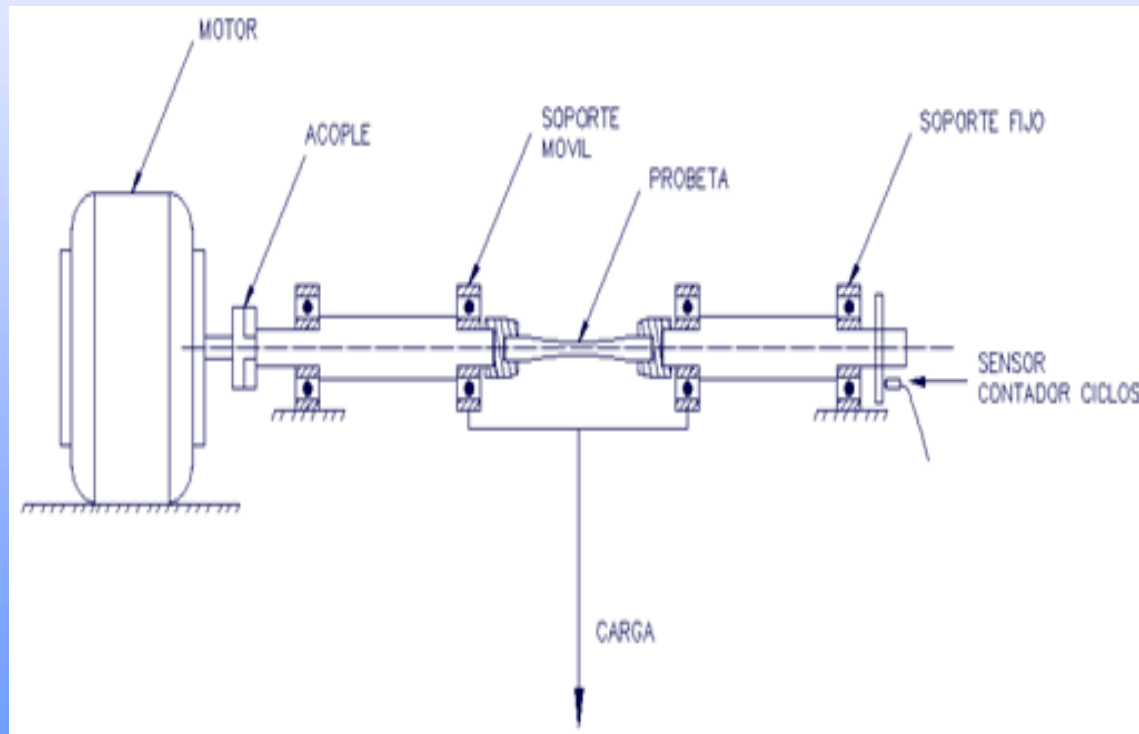
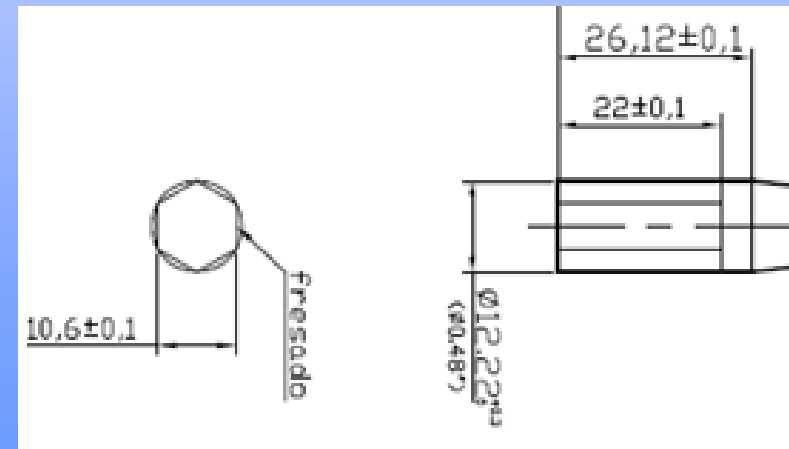
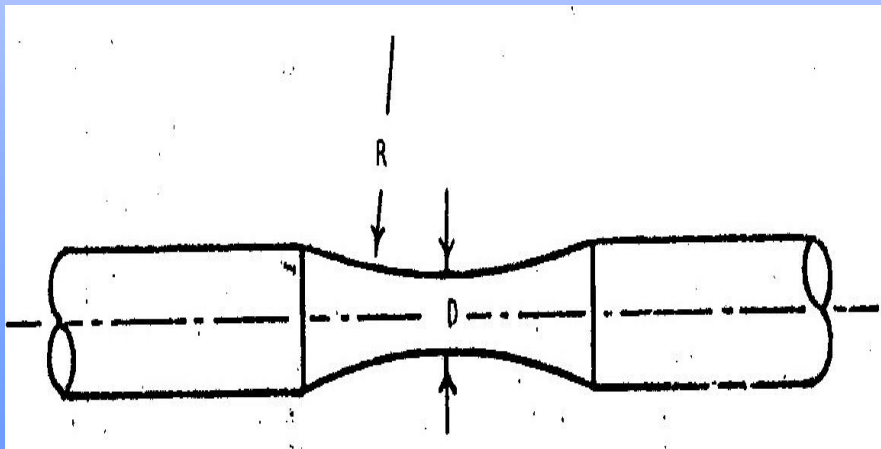


Fig 1.6 Máquina para realizar ensayos de fatiga por flexión rotativa.



PROBETAS PARA ENSAYO DE FATIGA

- Probetas de Secciones Transversales Circulares.
- El diámetro de la sección de prueba debe estar preferentemente entre 0.2 pulg. (5.08 mm) y 1 pulg. (25.4 mm) para asegurar la falla de la sección de prueba.
- Los métodos impropios de preparación pueden conllevar a tener resultados erróneos de la prueba.



CARGAS QUE INTERVIENEN EN LA MÁQUINA DE MOORE.

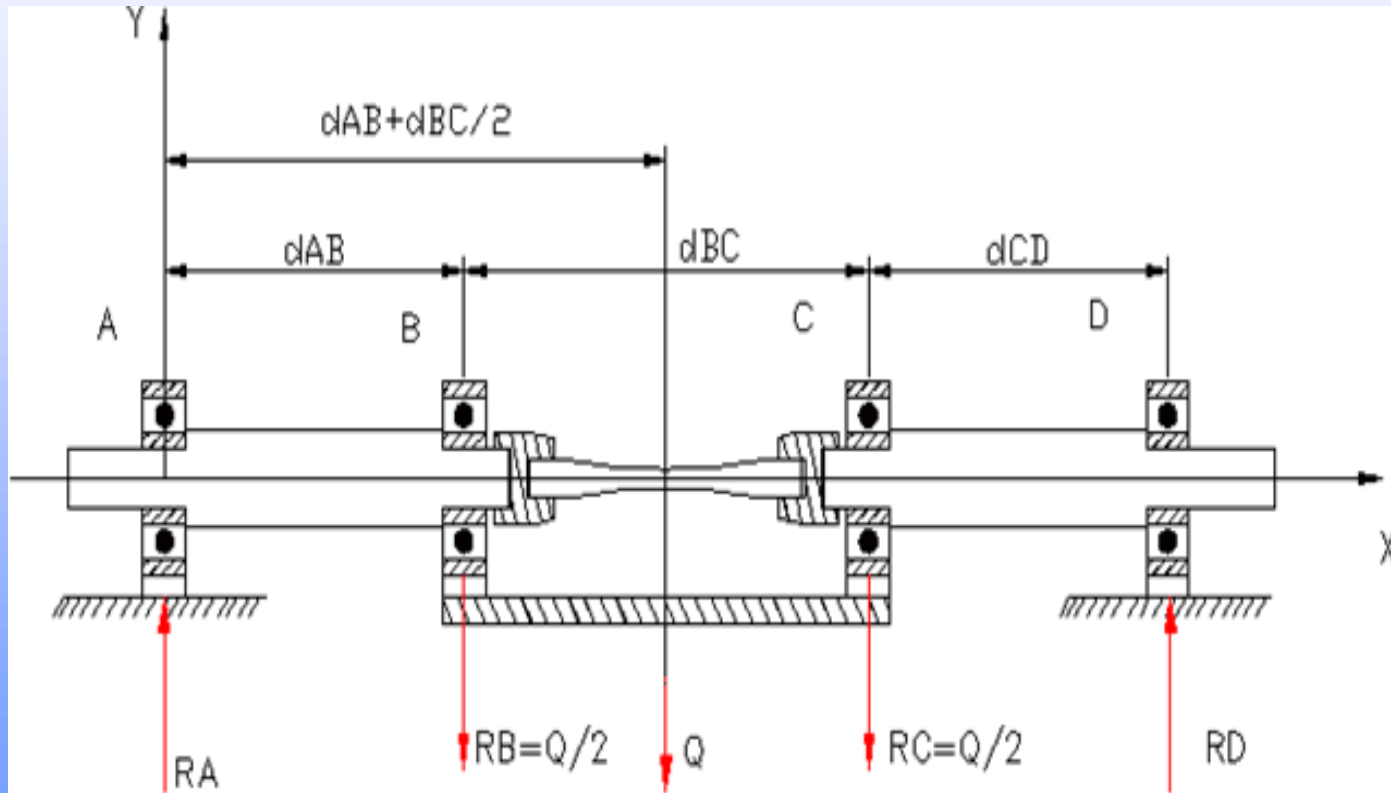
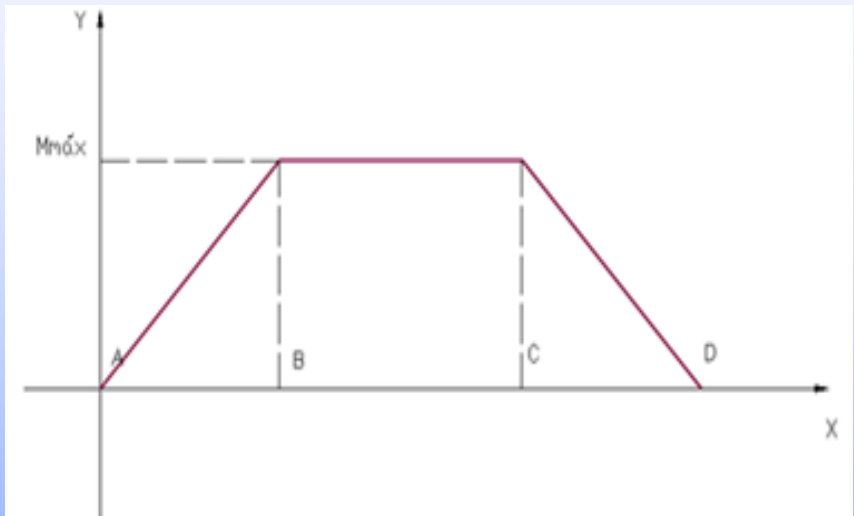


Fig 1.7 Diagrama de cuerpo libre del mecanismo giratorio



**Fig.1.8:Diagrama cortante
del sistema**



**Fig.1.9 Momento flector
del sistema**



ESCUELA POLITÉCNICA DEL
EJÉRCITO EXTENSIÓN LATACUNGA

CARRERA DE INGENIERÍA
ELECTROMECAÁNICA



DISEÑO Y/O SELECCIÓN



PARÁMETROS REQUERIDOS PARA LA CONSTRUCCIÓN DE LA MÁQUINA

- **Momento máximo.**
- **Ambiente de trabajo.**
- **Tamaño máximo.**
- **Tipo de trabajo.**
- **Motor.**
- **Transmisión de potencia.**
- **Sujeción de la probeta.**



- **Sistema de apoyo de los ejes.**
- **Sistema de aplicación de carga y su visualización.**
- **Contador de los ciclos de carga que se aplique a la probeta.**
- **Sistema de control de la máquina.**
- **Comunicación entre la máquina y una PC.**
- **Sistema de adquisición de datos.**



CARACTERÍSTICAS ESTABLECIDAS PARA LA MÁQUINA SEGÚN LA ALTERNATIVA MAS IDÓNEA

- **Estructura soporte:**
Estructura metálica, pintura anticorrosiva.
- **Mecanismo de aplicación de carga:**
Aplicación de carga mediante dos barras y un dinamómetro digital.
- **Rodamientos:**
Chumaceras autoalineantes tanto en soportes como en pivotes KDF.
- **Contador de revoluciones:**
Sensor optointerruptor de ranura



- **Sujeción probeta:**

Mordazas Tipo mandril.

- **Motor:**

Monofásico (potencia: 0.5 HP, velocidad máxima 1725 rpm).

- **Transmisión de potencia a los ejes:**

Acoples semiflexible.

- **Sistema de adquisición de datos:**

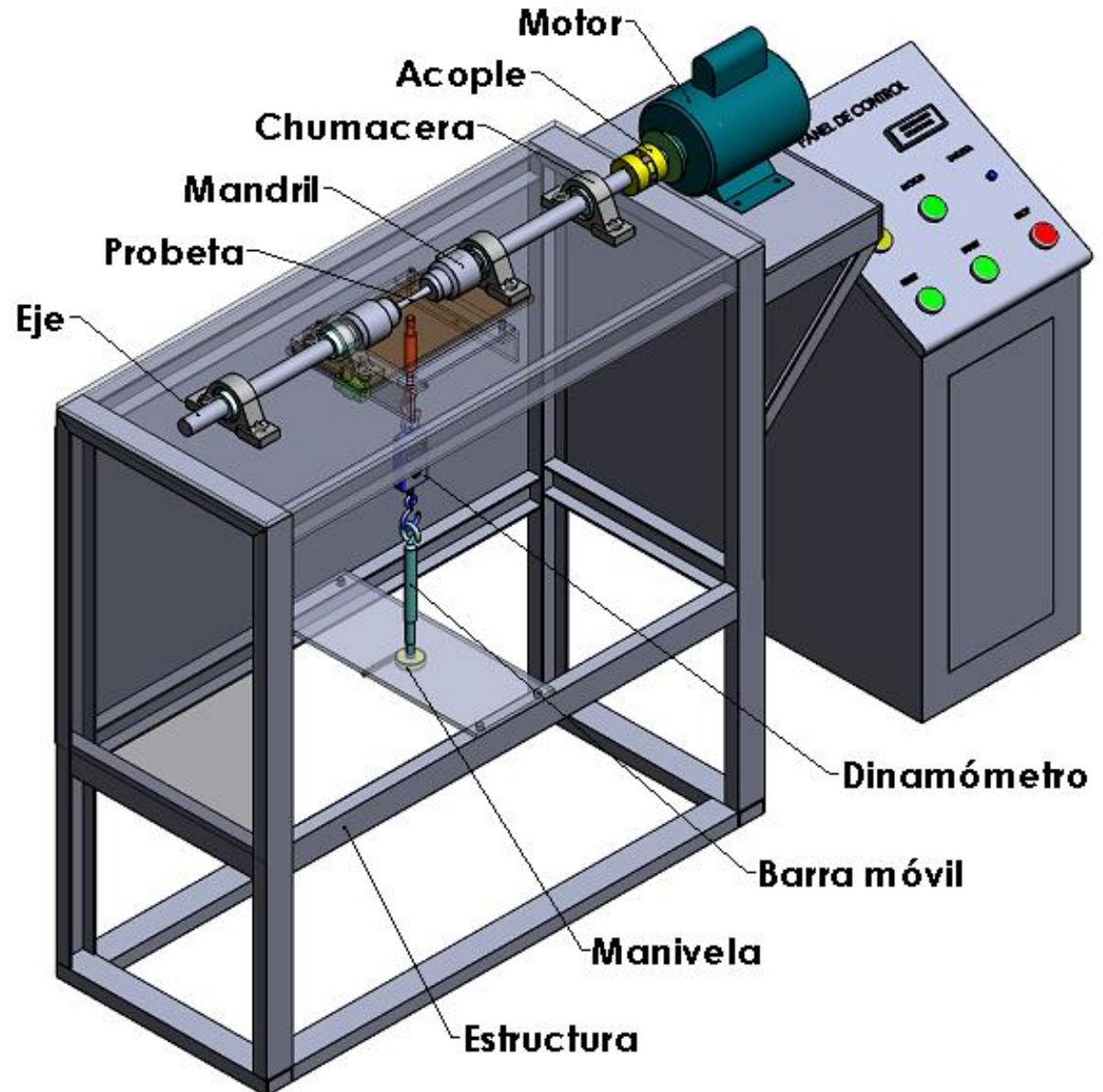
Mediante un microcontrolador ATMEGA 164P y Software Labview V.8.5 .

- **Control:**

Sistema electrónico de apagado y encendido de la máquina mediante PC, o tablero.

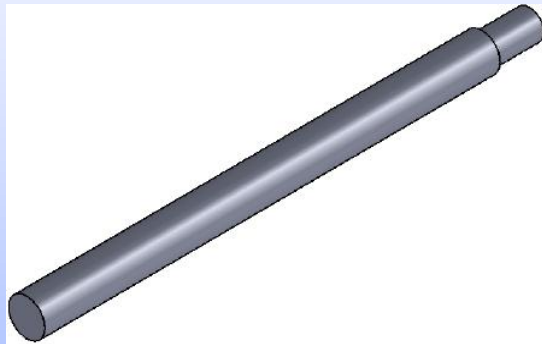


ELEMENTOS PRINCIPALES DE LA MÁQUINA.



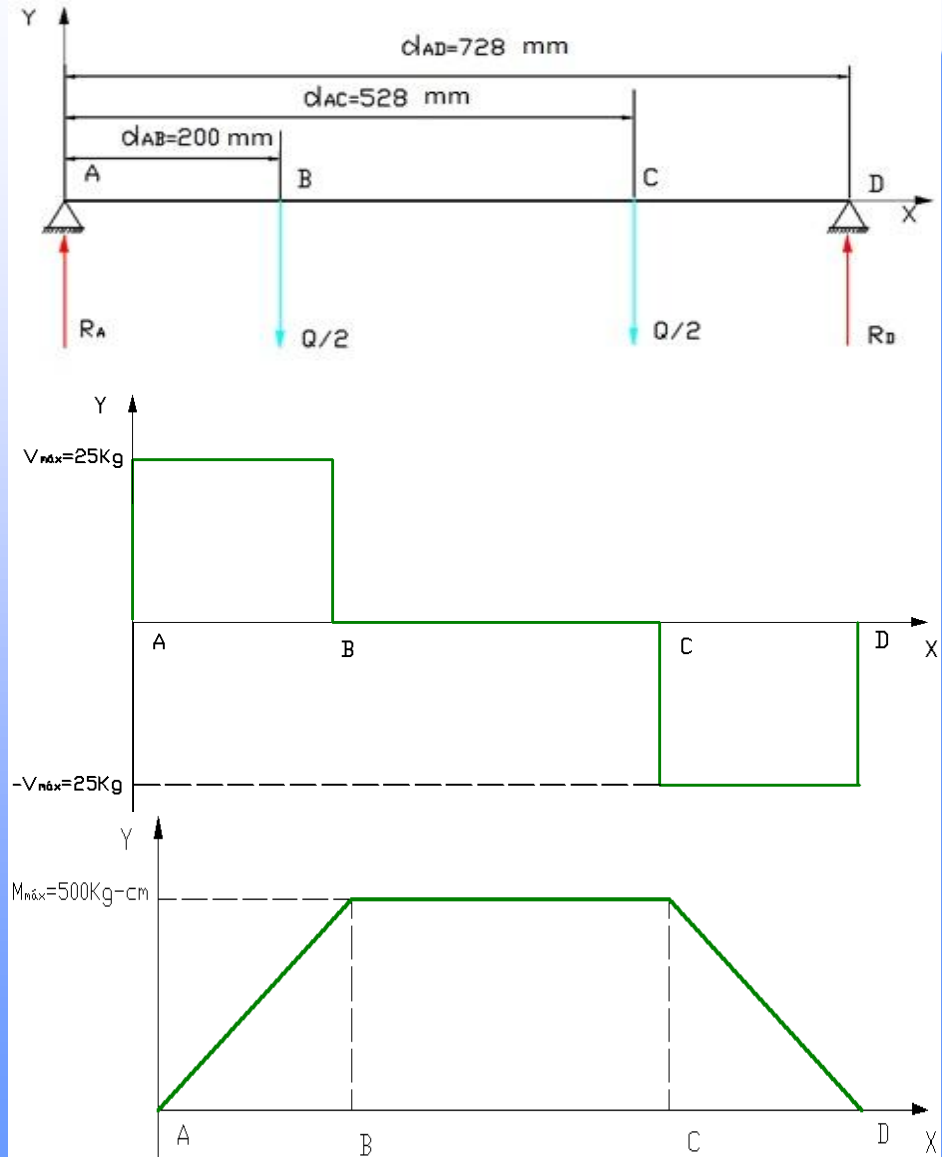


DISEÑO MECANICO. DISEÑO DE EJES.



$F.S = 2$

$d = 0.793 \left[\text{pulg} \right] = 20.164 \text{mm}$





SELECCIÓN DE RODAMIENTOS.

Se adquirió las chumaceras de la marca DKF de designación UCP205





SELECCIÓN DEL MOTOR.

- Motor monofásico.
- RPM= 1725.
- Voltaje= 110-220.
- Potencia = 1/4HP.
- Marca=WEG
- Frecuencia 60Hz





SELECCIÓN DEL ACOPLE.

Se selecciona el tipo de acople L-090. Que tiene la capacidad de transmitir una potencia de hasta 4 [HP], un par nominal efectivo de 144 [lb*pulg], absorber desalineamiento angular en 1° y puede alojar ejes de diámetro que van desde $\frac{1}{4}$ hasta 1 [pulg].





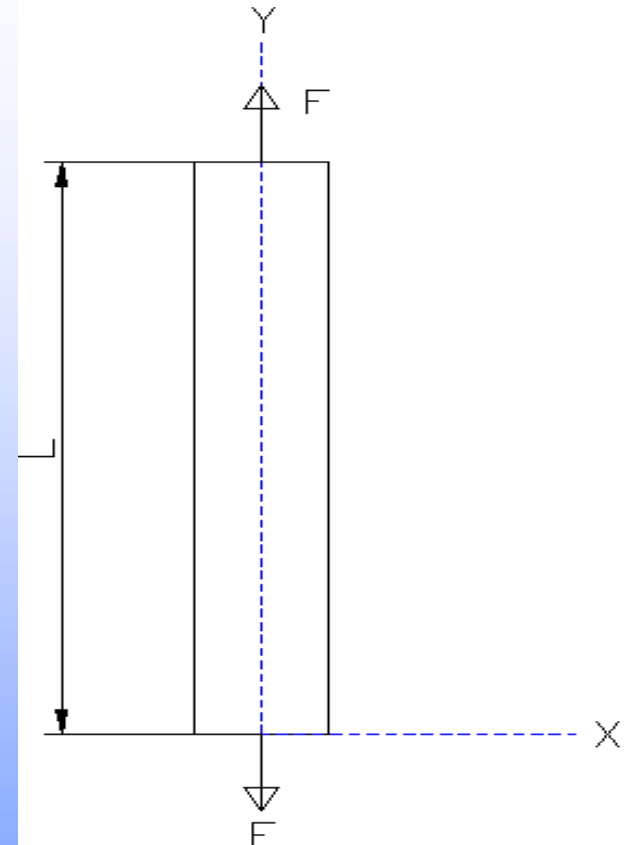
DISEÑO DE BARRAS DE CARGA.

Propiedades mecánicas del acero ASTM A-36

Unidades	Mpa	Kg/mm ²	Kpsi
S_y	248.6	25.36	36
S_{ut}	400	64.34	42

$$F.S = 2$$

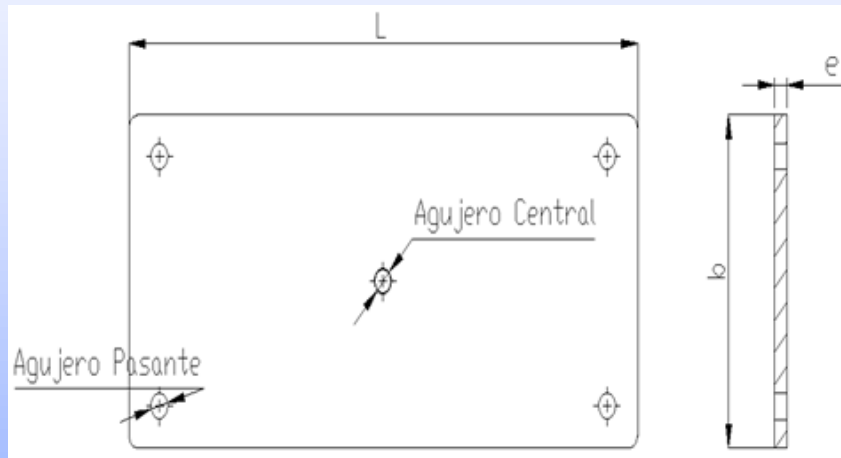
$$d = 3.88 \text{ [mm]}$$



Por la facilidad de construcción y robustez para el diseño de la máquina, se diseñó el eje con un diámetro de 16 mm.



DISEÑO DE LA PLACA DE FUERZA.



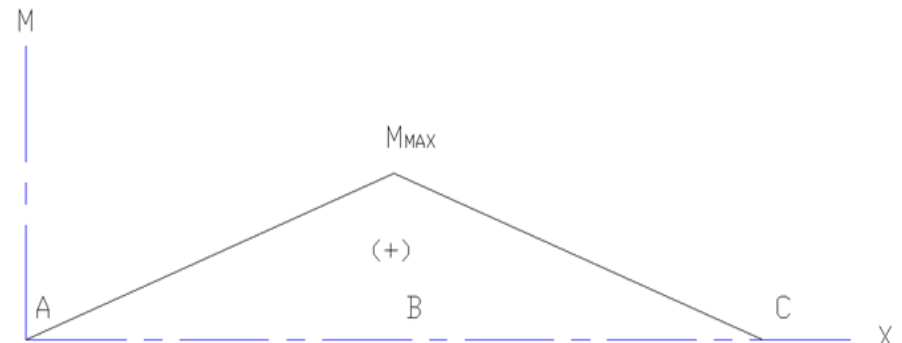
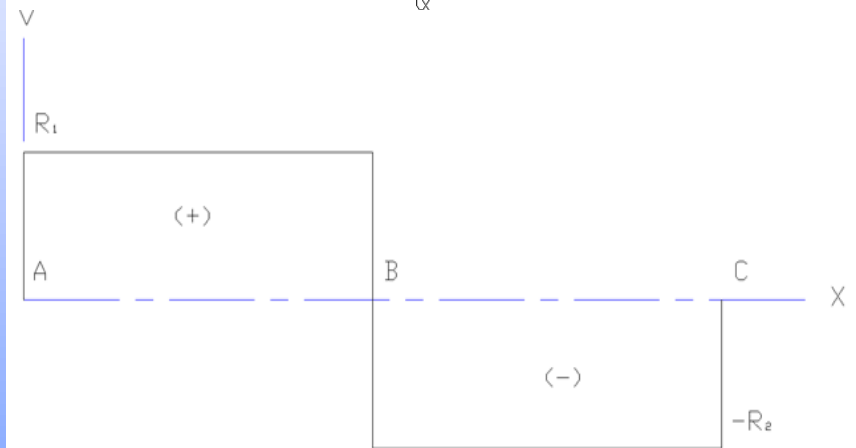
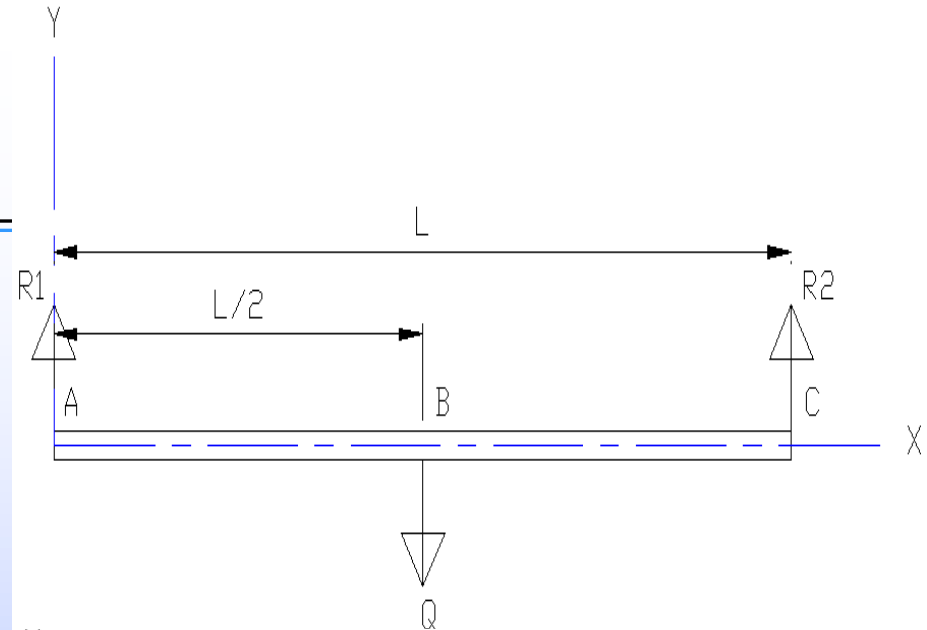
F.S= 4

$$e = 5.325 \text{ mm}$$



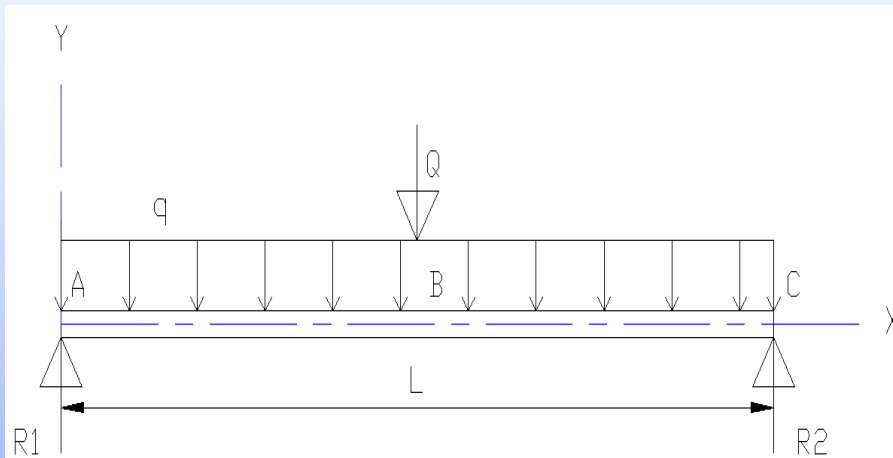
F.S= 9

Por lo tanto se selecciona una
placa de 8 mm de espesor





DISEÑO DE LA PLACA SOPORTE PRINCIPAL.



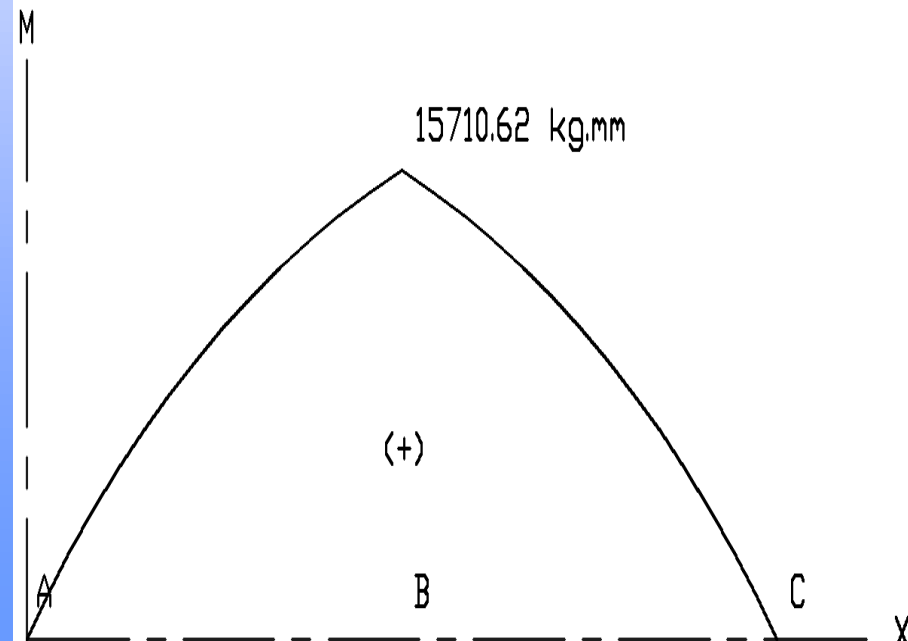
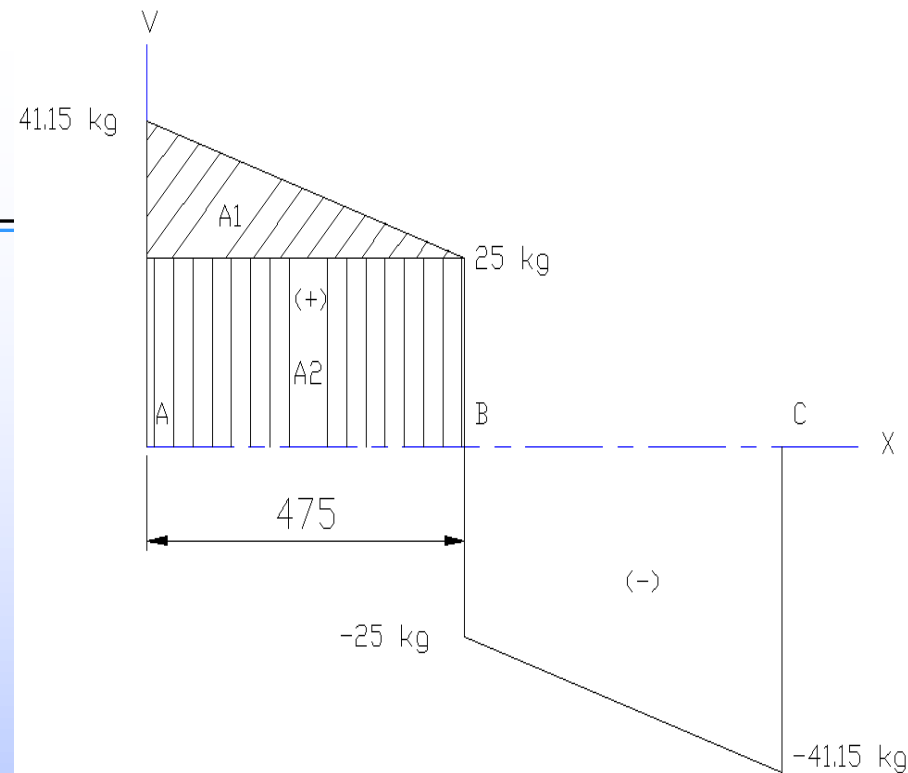
F.S= 4

$e = 6 \text{ mm}$



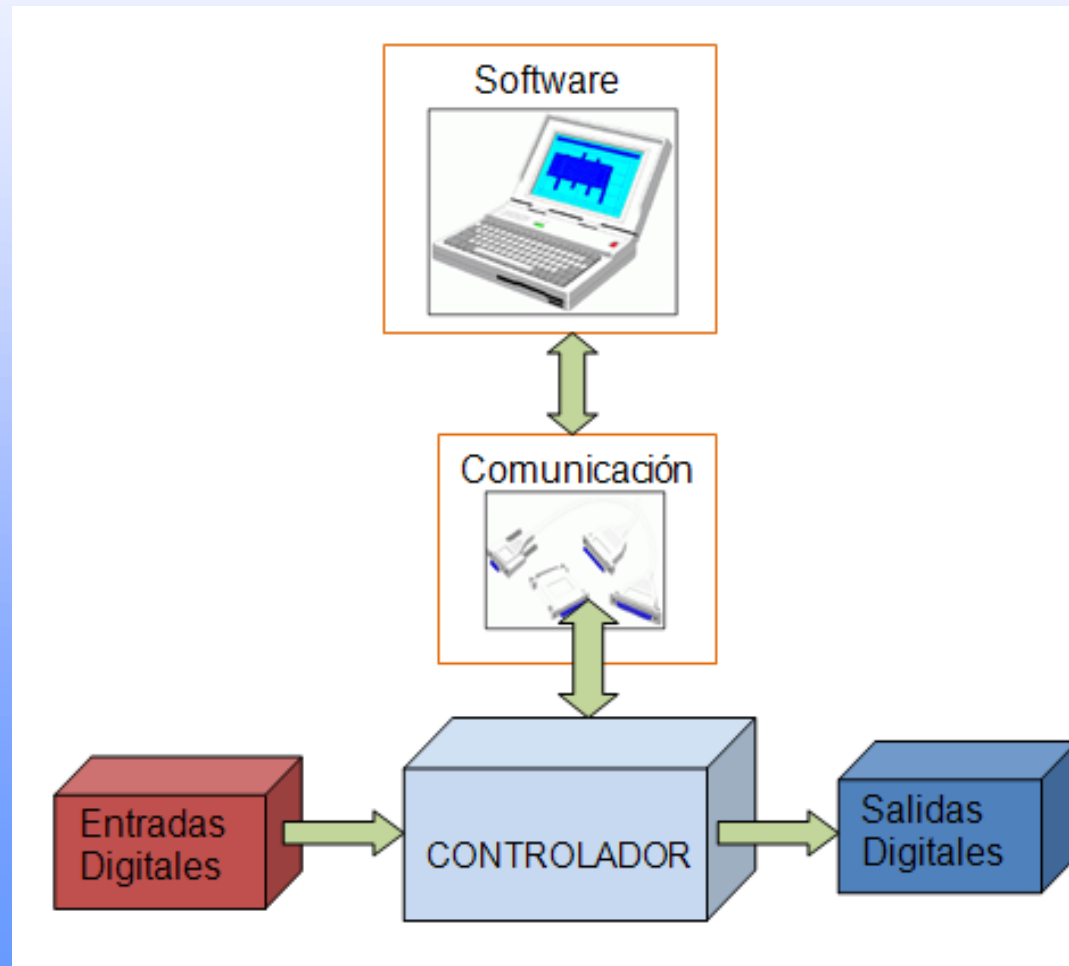
F.S= 7

Entonces, se selecciona una
plancha de acero A-36 con 8 mm





SELECCIÓN Y DISEÑO DEL SISTEMA DE CONTROL Y ADQUISICIÓN DE DATOS



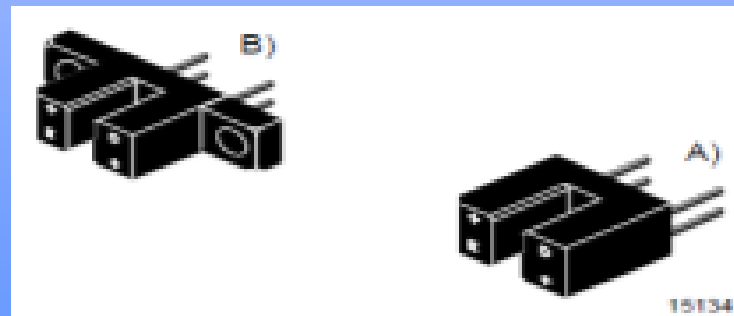


SENSOR DE PROXIMIDAD.



SENSOR CONTADOR DE CICLOS.

Se seleccionó el sensor TCST 1000.





DINAMÓMETRO DIGITAL



En su interior cuenta con bandas extensométricas resistentes al desgaste, que permiten obtener valores precisos, su rango de medición está comprendido entre 0 y 45 Kg con una buena resolución de centésimas.



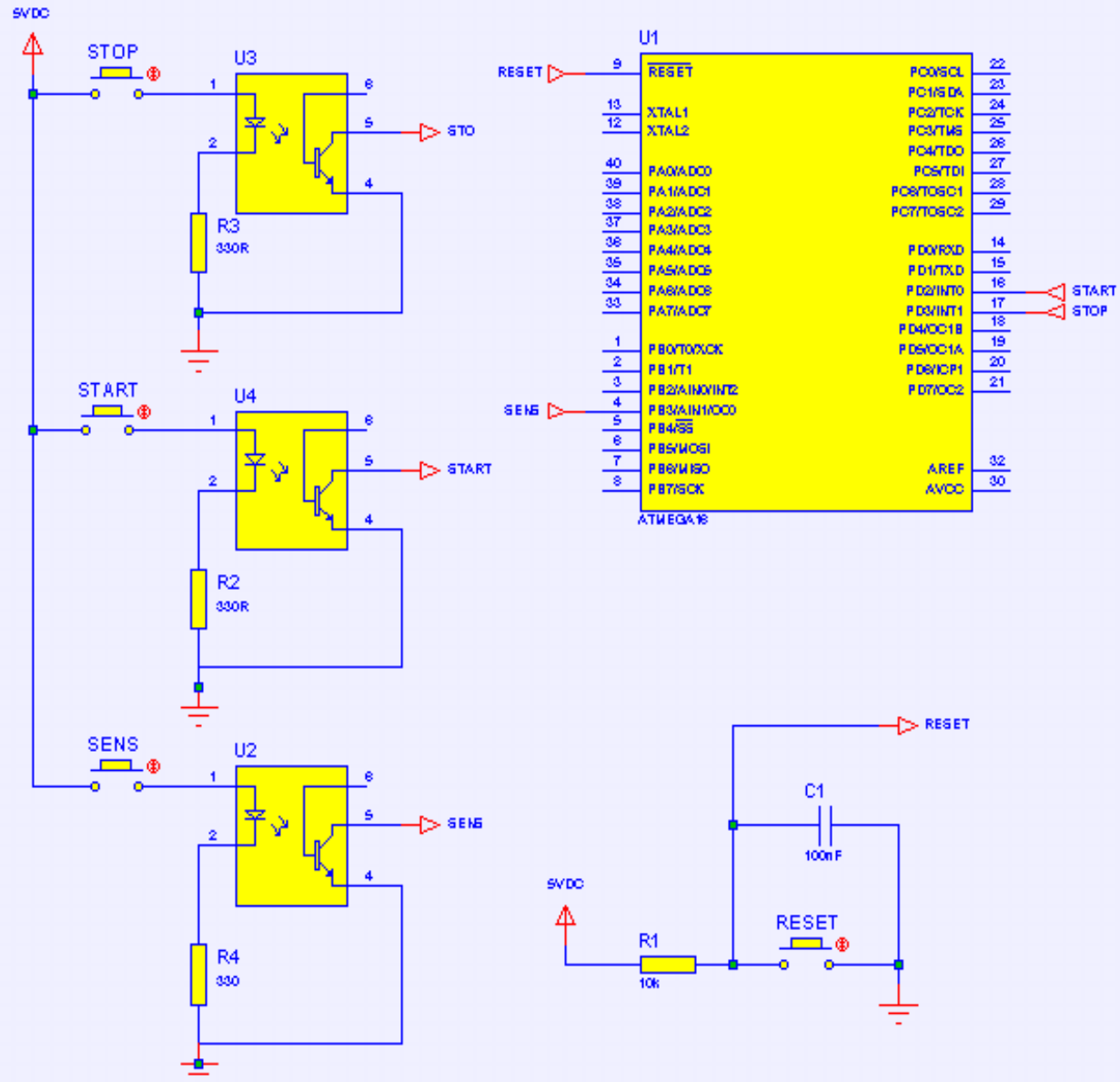
CONTROLADOR

Se selecciona el microcontrolador ATMEGA 164p de la marca ATMEL, que aún cuando posee mayores I/O que las requeridas, la utilización de su oscilador interno de 8 MHz hace que la comunicación serial sea más confiable que el de otros modelos de esta misma marca.

(PCINT8/XCK0/T0) PB0	1	40	PA0 (ADC0/PCINT0)
(PCINT9/CLKO/T1) PB1	2	39	PA1 (ADC1/PCINT1)
(PCINT10/INT2/AIN0) PB2	3	38	PA2 (ADC2/PCINT2)
(PCINT11/OC0A/AIN1) PB3	4	37	PA3 (ADC3/PCINT3)
(PCINT12/OC0B/SS) PB4	5	36	PA4 (ADC4/PCINT4)
(PCINT13/MOSI) PB5	6	35	PA5 (ADC5/PCINT5)
(PCINT14/MISO) PB6	7	34	PA6 (ADC6/PCINT6)
(PCINT15/SCK) PB7	8	33	PA7 (ADC7/PCINT7)
RESET	9	32	AREF
VCC	10	31	GND
GND	11	30	AVCC
XTAL2	12	29	PC7 (TOSC2/PCINT23)
XTAL1	13	28	PC6 (TOSC1/PCINT22)
(PCINT24/RXD0) PD0	14	27	PC5 (TDI/PCINT21)
(PCINT25/TXD0) PD1	15	26	PC4 (TDO/PCINT20)
(PCINT26/RXD1/INT0) PD2	16	25	PC3 (TMS/PCINT19)
(PCINT27/TXD1/INT1) PD3	17	24	PC2 (TCK/PCINT18)
(PCINT28/XCK1/OC1B) PD4	18	23	PC1 (SDA/PCINT17)
(PCINT29/OC1A) PD5	19	22	PC0 (SCL/PCINT16)
(PCINT30/OC2B/ICP) PD6	20	21	PD7 (OC2A/PCINT31)

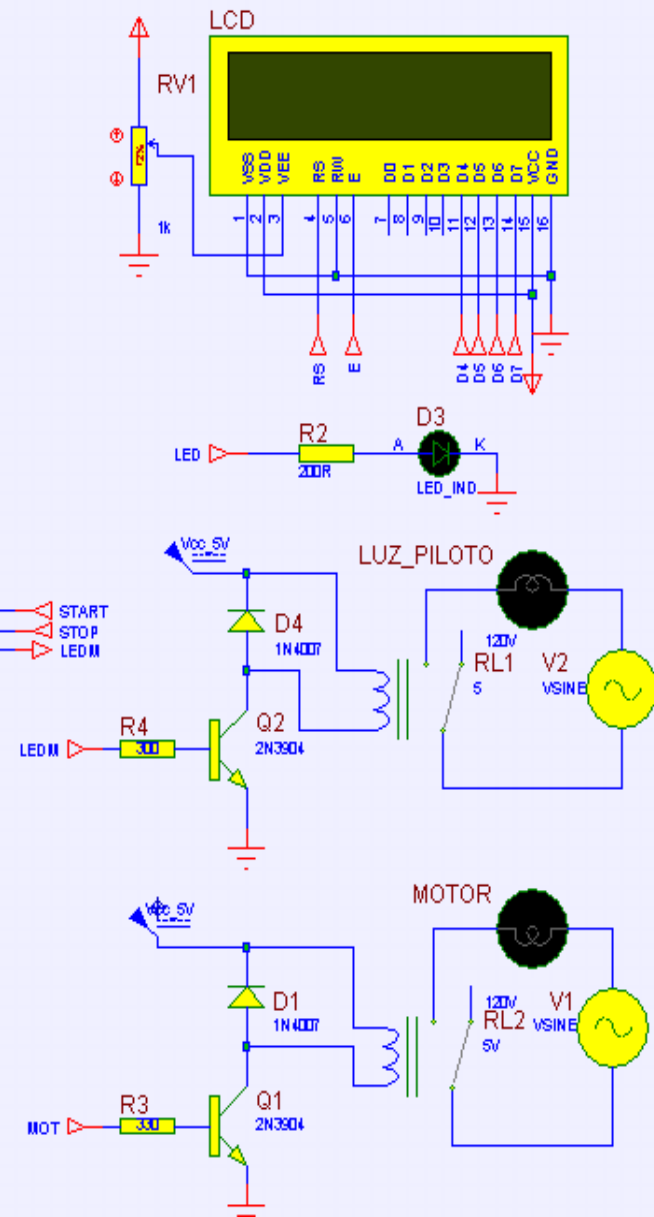
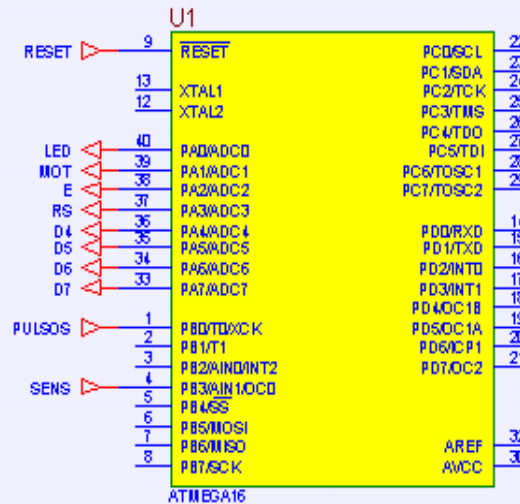


ASIGNACIÓN DE SEÑALES DE ENTRADA PARA EL MICROCONTROLADOR



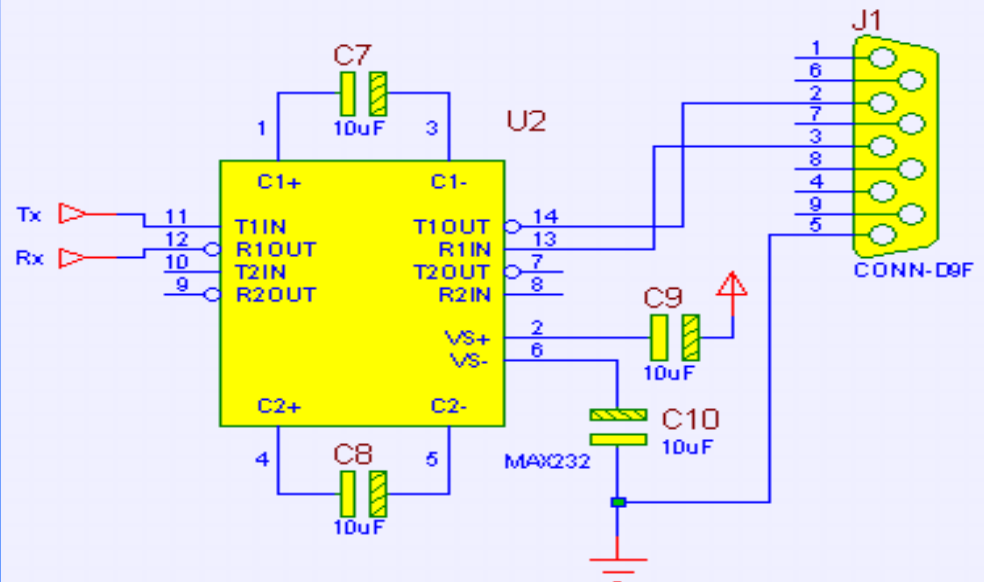
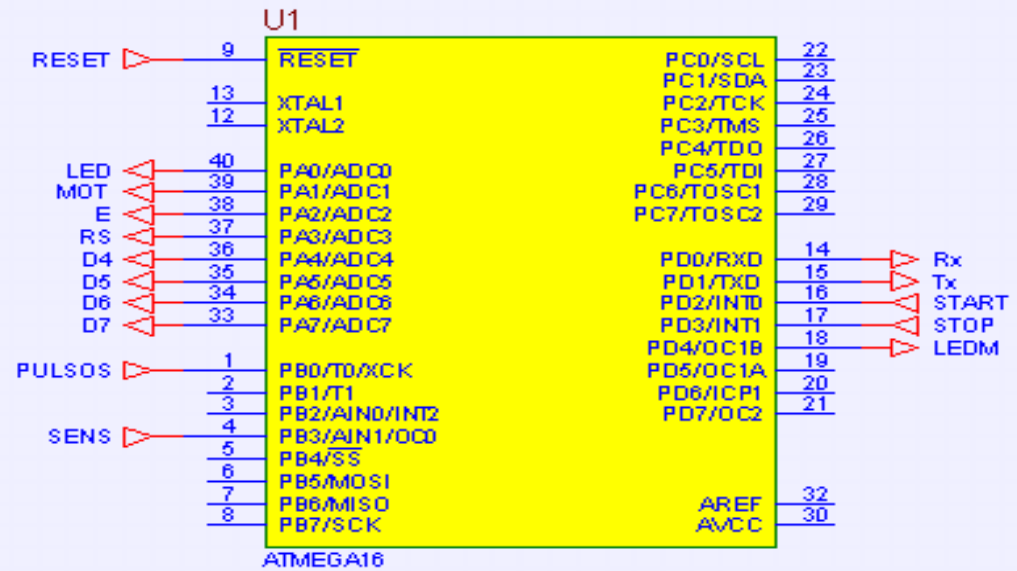


ASIGNACION DE SEÑALES DE SALIDA PARA EL MICROCONTROLADOR.



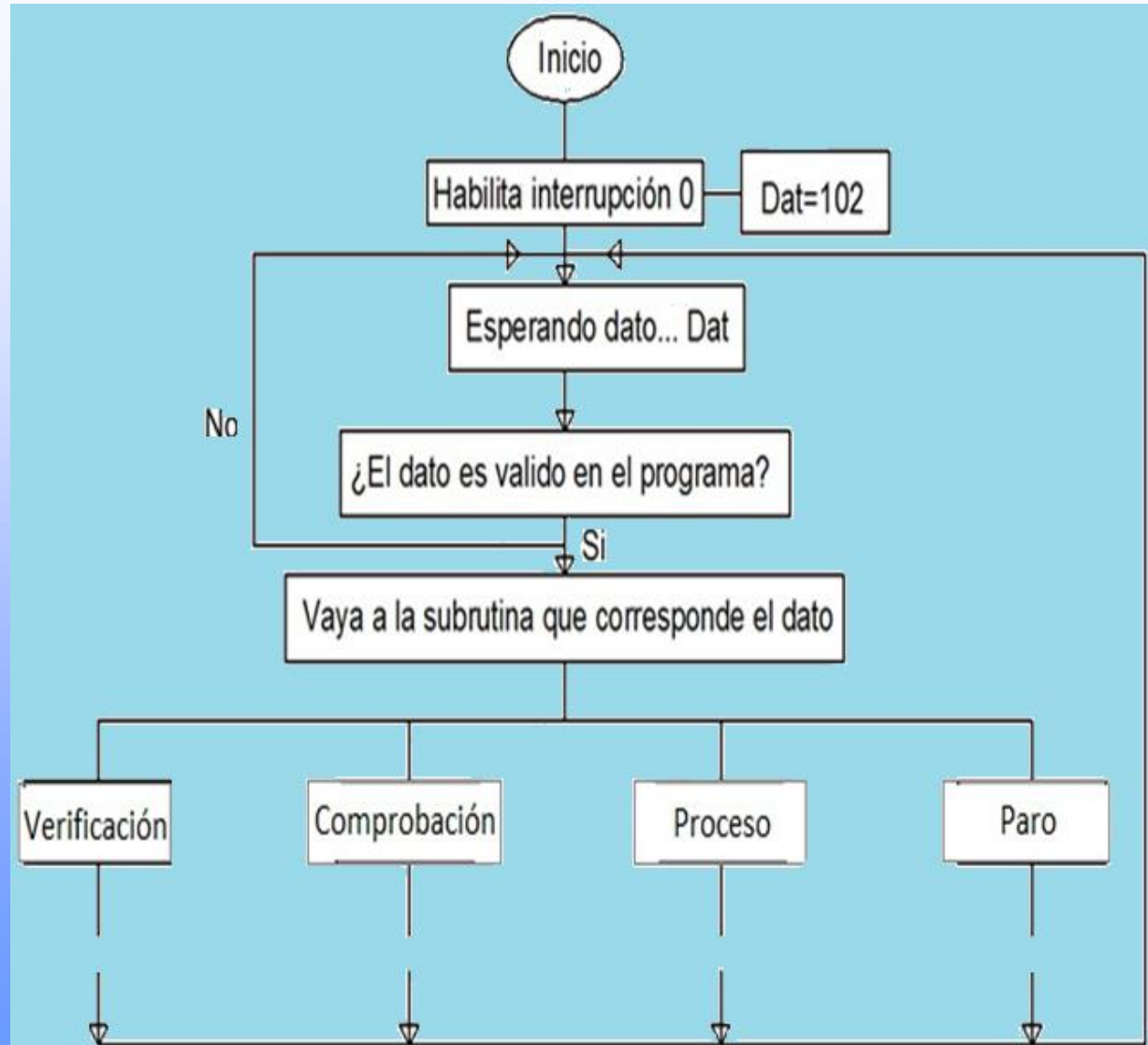


CONFIGURACIÓN PARA COMUNICACIÓN RS-232



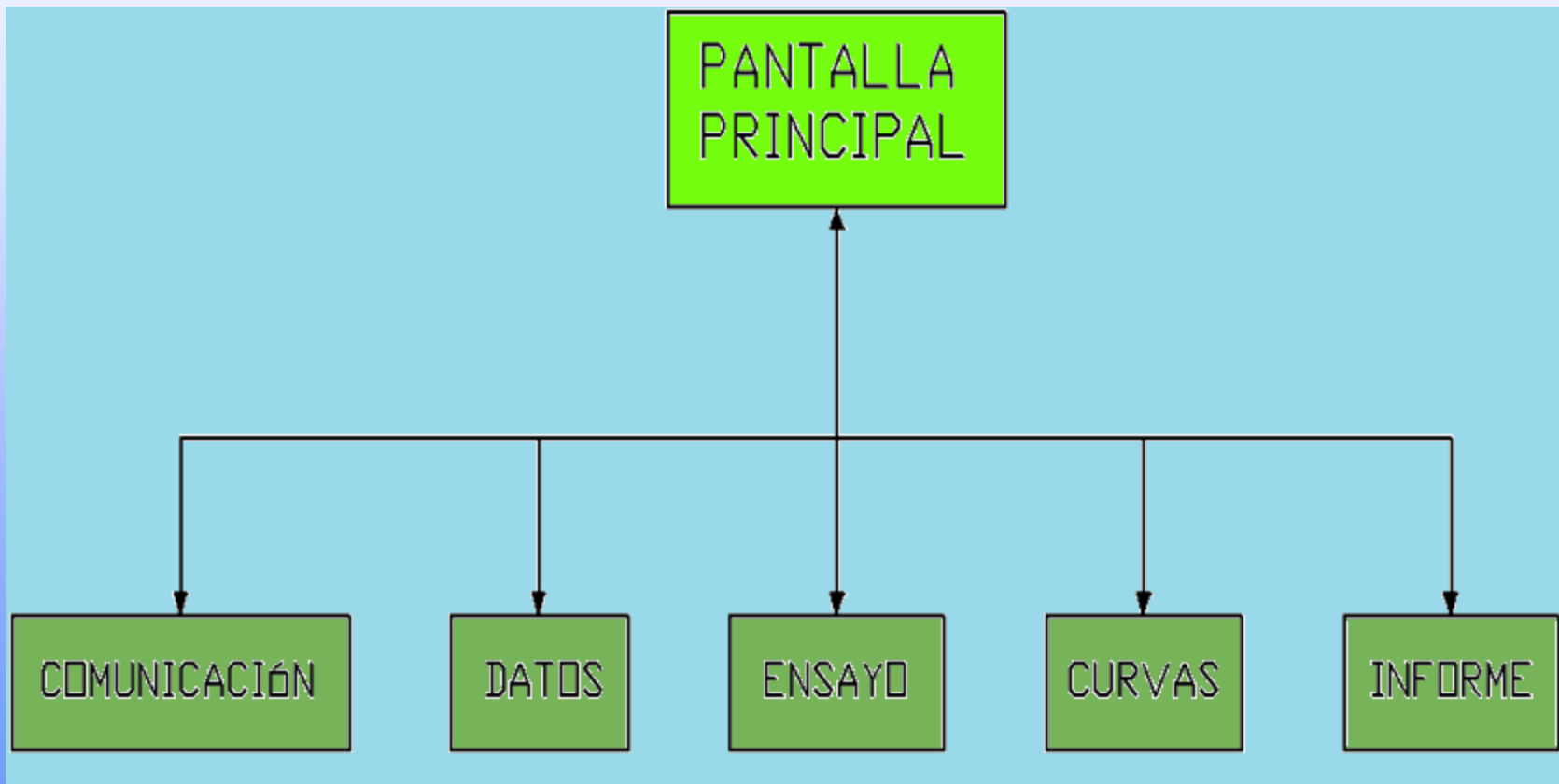


PROGRAMACIÓN DEL MICROCONTROLADOR





PANTALLAS UTILIZADAS EN LA APLICACIÓN





PANTALLA PRINCIPAL PARA LA REALIZACIÓN DEL ENSAYO.





PANTALLA DEL SUBVI COMUNICACIÓN

SELECCIONE PUERTO SERIAL Y
PRESIONE ACEPTAR

ESTADO
DESABILITADO

VISA resource name
COM3

ACEPTAR CONTINUAR



PANTALLA DEL SUBVI DATOS.

INGRESO DE DATOS **DATO ACEPTADO**

MATERIAL PROBETA <input type="text"/>	MATERIAL PROBETA <input type="text"/>
NÚMERO DE ENSAYOS 5	NÚMERO DE ENSAYOS 5
DIÁMETRO PROBETA 7,5	d (mm) 7,5
RESISTENCIA A LA TRACCIÓN MPa 400	Sut (MPa) 400

CALCULAR

DEBE REALIZAR EL MONTAJE DE LA RESPECTIVA PROBETA EN LA MAQUINA.

The image shows a software interface for data entry and calculation, alongside a 3D model of a tensile testing machine. The interface is divided into two columns: 'INGRESO DE DATOS' (Data Entry) and 'DATO ACEPTADO' (Accepted Data). The 'INGRESO DE DATOS' column contains four input fields: 'MATERIAL PROBETA' (empty), 'NÚMERO DE ENSAYOS' (5), 'DIÁMETRO PROBETA' (7,5), and 'RESISTENCIA A LA TRACCIÓN' (400 MPa). The 'DATO ACEPTADO' column contains four corresponding output fields: 'MATERIAL PROBETA' (empty), 'NÚMERO DE ENSAYOS' (5), 'd (mm)' (7,5), and 'Sut (MPa)' (400). A 'CALCULAR' button is located between the columns. To the right, a 3D model of a tensile testing machine is shown, featuring a motor, a control panel with buttons, and a frame. A red box above the machine contains the text 'DEBE REALIZAR EL MONTAJE DE LA RESPECTIVA PROBETA EN LA MAQUINA.'



PANTALLA DEL SUBVI ENSAYOS.

MATERIAL PROBETA

VOLORES ACTUAL ENSAYO

ENSAYO ACTUAL	NUMERO DE ENSAYOS
0	0
CARGA APLICADA (Kg)	DIÁMETRO PROBETA (mm)
0	0
ESFUERZO (Kpsi)	Sut (kpsi)
0	0
TIEMPO ESTIMADO (min)	CICLOS TEÓRICOS
0	0

CICLOS REALES

TIEMPO

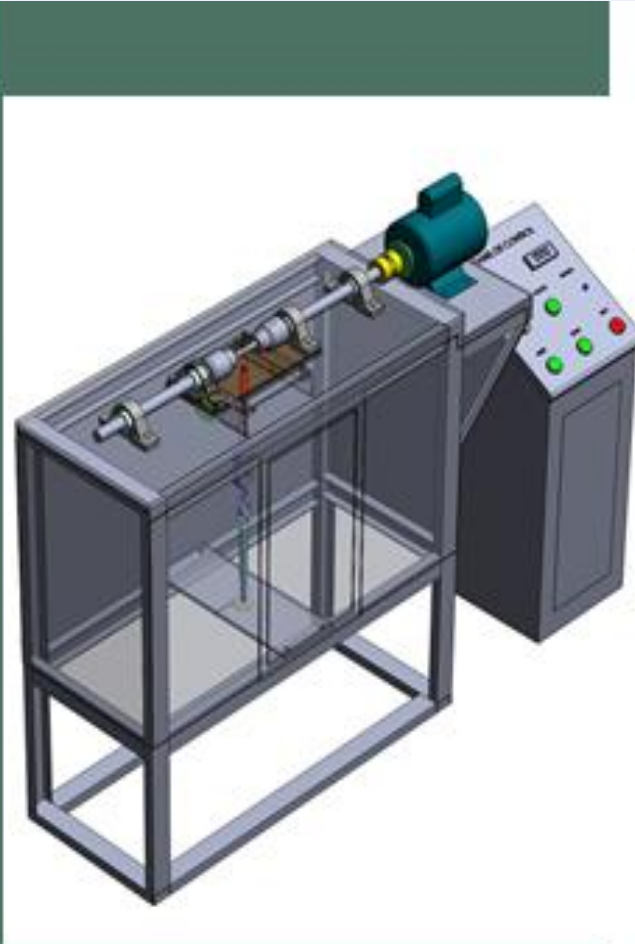
INICIAR

ABORTAR

CONTINUAR

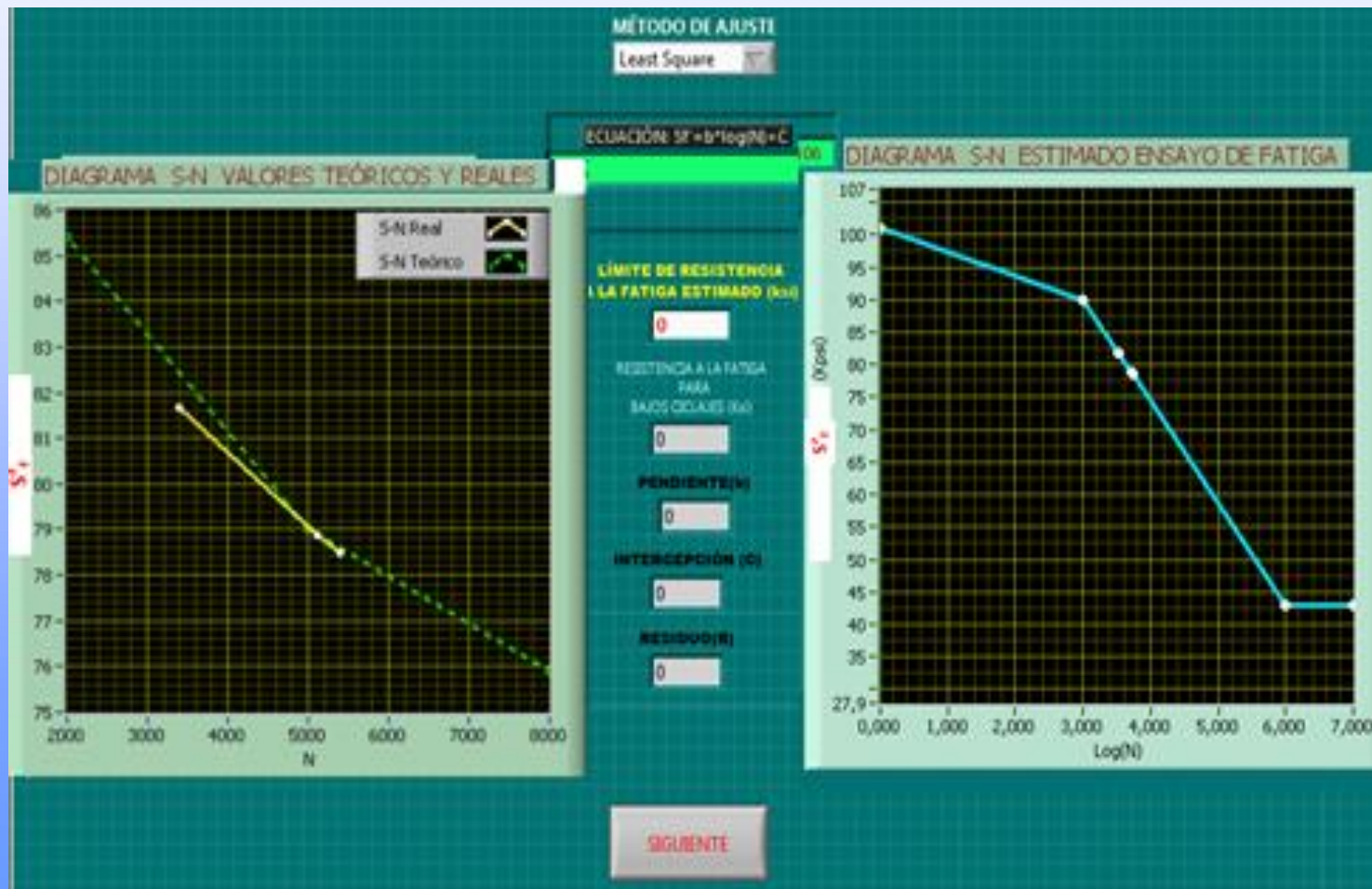
RESUMEN ENSAYOS

Nº ENSAYO	ESFUERZO(kpsi)	DIAMETRO(mm)	CARGA(Kg)	CICLOS T.





PANTALLA DEL SUBVI CURVAS.





PANTALLA DEL SUBVI CREAR INFORME.

INGRESO DE DATOS

DOCENTE

ESTUDIANTES

CARRERA

NIVEL

PARALELO

CREAR



ESCUELA POLITÉCNICA DEL
EJÉRCITO EXTENSIÓN LATACUNGA

CARRERA DE INGENIERÍA
ELECTROMECÁNICA

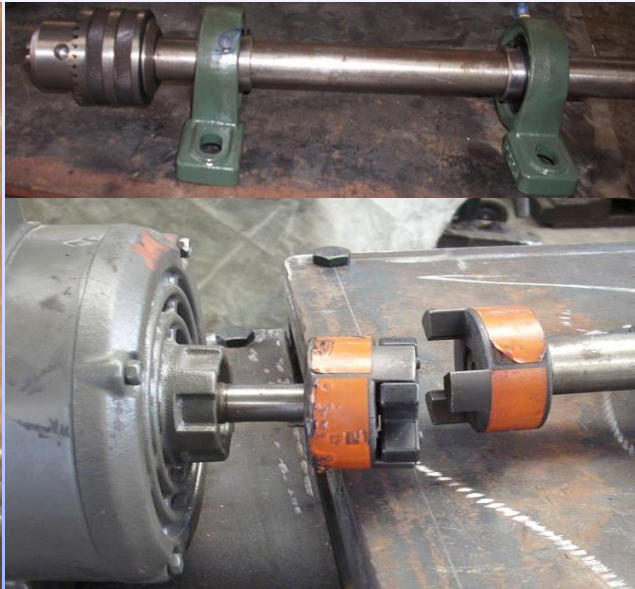


CONSTRUCCIÓN DE LA MÁQUINA.



ESCUELA POLITÉCNICA DEL
EJÉRCITO EXTENSIÓN LATACUNGA

CARRERA DE INGENIERÍA
ELECTROMECÁNICA





ECUACIONES NECESARIAS PARA LA EXPLICACIÓN DE PRUEBAS Y RESULTADOS OBTENIDOS EN LA MÁQUINA.

$$S_f = aN^b$$

$$S_m = 0.9S_{ut}$$

$$b = -\frac{1}{3} \text{Log} \left(\frac{S_m}{S'_e} \right)$$

$$S'_e = 0.5 * S_{ut}$$

$$\text{Log } a = \text{Log } S_m - b \text{Log } N_1 = \text{Log } S_m - 3b$$

$$Q = \frac{aN^b \pi (d_{\text{probeta}})^3}{16d_{AB}}$$

$$\% \text{Error} = \left| \left(1 - \frac{S'_{fr}}{S'_{ft}} \right) * 100 \right|$$

$$\% \text{Error}_{\text{prom}} = \frac{\sum \text{Error}\%}{n}$$



ESCUELA POLITÉCNICA DEL
EJÉRCITO EXTENSIÓN LATACUNGA

CARRERA DE INGENIERÍA
ELECTROMECAÁNICA



PRUEBAS Y RESULTADOS.



VALORES TEÓRICOS ENSAYO FATIGA

ENSAYO	d_{probeta} (mm)	Q(Kg)	T_t (min)	N_t	S'_{ft} (Kpsi)
1	7.6	25.94	1.176	2000	85.42
2	7.6	24.005	2.941	5000	79.01
3	7.6	23.0064	4.706	8000	75.91

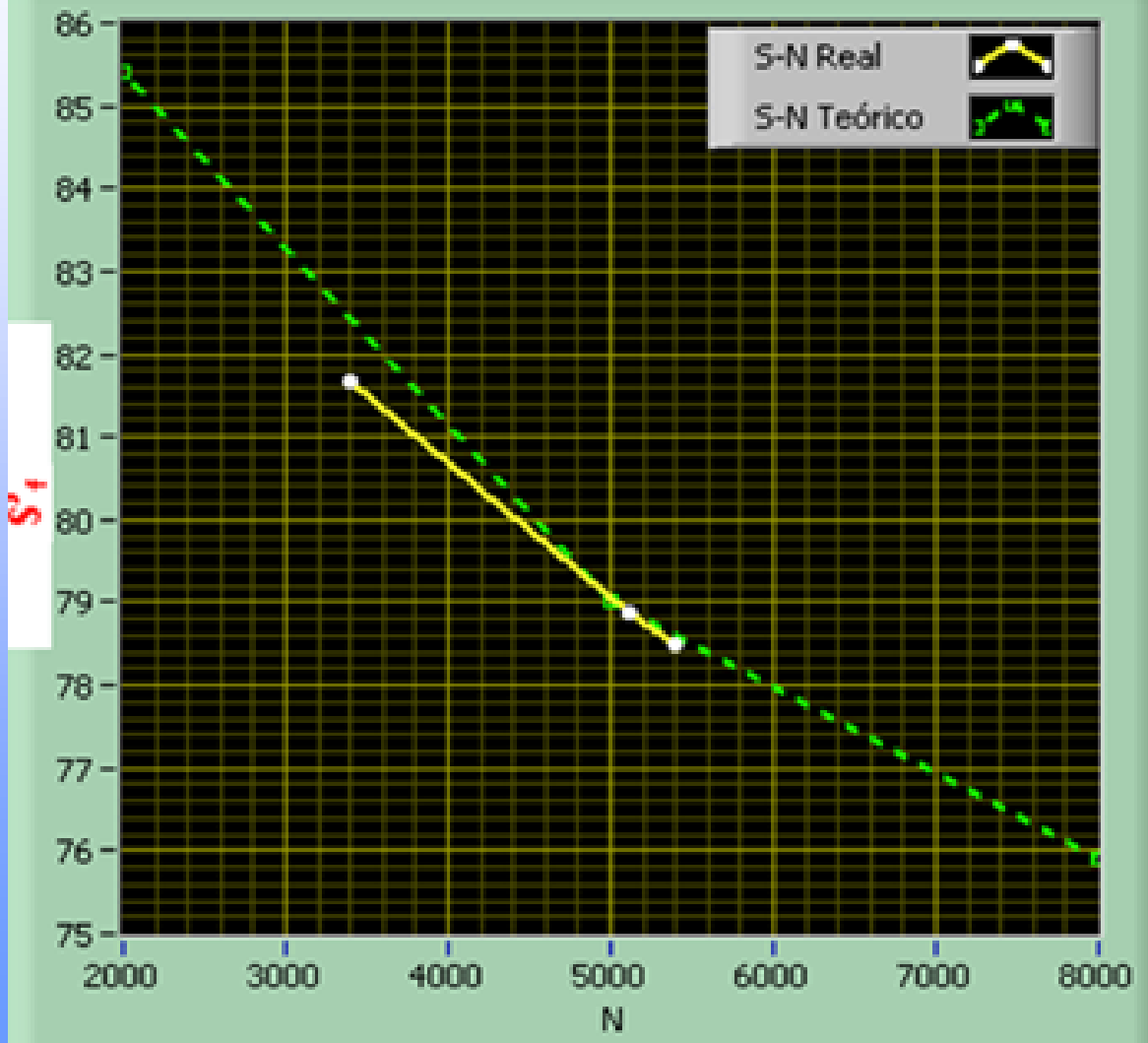
VALORES REALES ENSAYO DE FATIGA

ENSAYO	T_r (min)	N_r	S'_{fr} (Kpsi)	Error (%)
1	7.6	3391	81.6	4,4
2	7.6	5108	78.87	0,2
3	7.6	5395	78.51	3,4

$$\%Error_{prom} = 2.391\%$$



DIAGRAMA S-N VALORES TEÓRICOS Y REALES



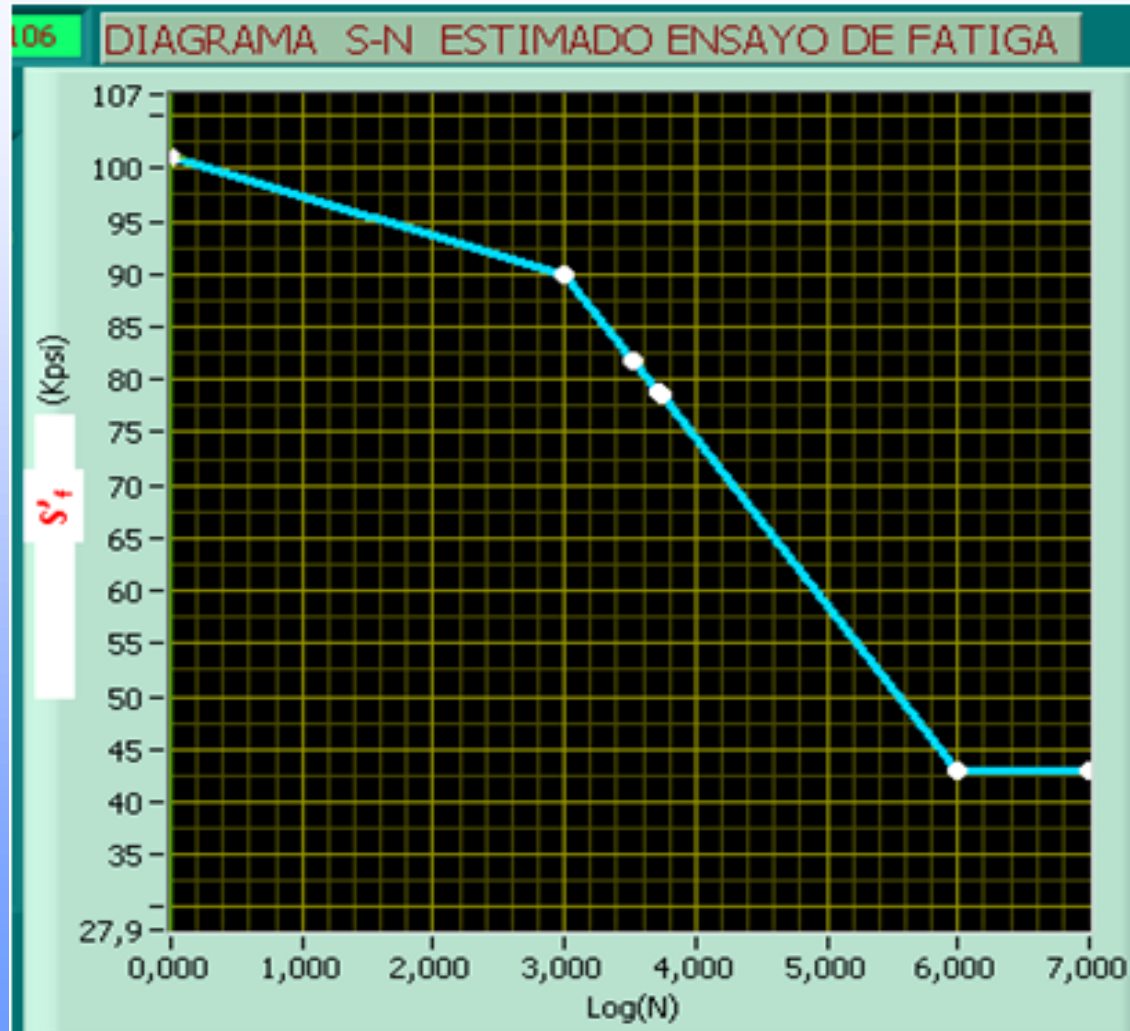


LÍMITE DE RESISTENCIA A LA FATIGA ESTIMADO

$$S'_f = -15,302 * \text{Log}(N) + 135,612 \text{ [Kpsi]}$$



Ciclos (N)	Log(N)	Resistencia a la fatiga, S'_f [Kpsi]
1000	3	89,997
10000	4	74,294
100000	5	58,591
1000000	6	42,856





ESCUELA POLITECNICA DEL EJERCITO
EXTENSIÓN LATACUNGA



CARRERA DE INGENIERÍA
ELECTROMECAÁNICA

LABORATORIO DE RESISTENCIA DE MATERIALES
FATIGA EN LOS METALES

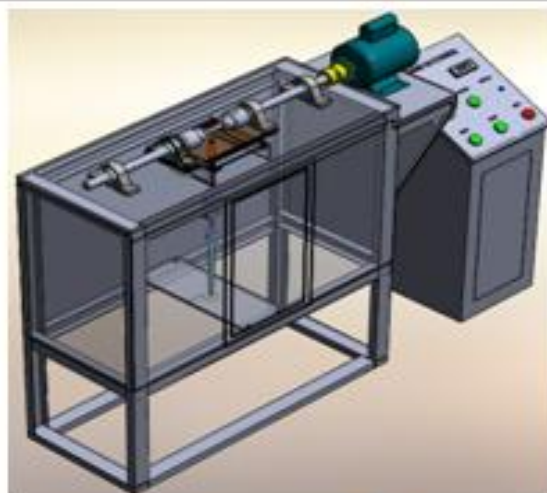
DOCENTE: Msc. Juan Correa

Estudiantes: Chango David
Siza Marcelo

Carrera: INGENIERÍA ELECTROMECAÁNICA
Nivel: X
Paralelo: "A"

Número de ensayos: 3
Material Probeta: AISI 1018
Condición ensayo: Temperatura ambiente, sin corrosión

Máquina Utilizada: Máquina de Wholer RPM: 1730
Normas Consultadas: - ISO 1143:1975
- ASTM E466-96





ESCUELA POLITÉCNICA DEL EJÉRCITO EXTENSIÓN LATACUNGA



CARRERA DE INGENIERÍA
ELECTROMECAÁNICA

LABORATORIO DE RESISTENCIA DE MATERIALES FATIGA EN LOS METALES

TABLA 1. Valores de resistencia estática del material

Sut (Kpsi)	100.680
Sy (Kpsi)	80.544

TABLA 2. Valores teóricos, ensayo de fatiga por flexión rotativa

ENSAYO	DIÁMETRO(mm)	CARGA(Kg)	TIEMPO T.(min)	CICLOS T.	ESFUERZO T.(kpsi)
1	7.6	25.953	1.176	2000	85.422
2	7.6	24.006	2.941	5000	79.015
3	7.6	23.065	4.706	8000	75.917

TABLA 3. Valores reales obtenidos del ensayo

ENSAYO	TIEMPO (min)	CICLOS R.	ESFUERZO R.(Kpsi)	ERROR
1	3.854	3391	81.669	0.044
2	31.140	5108	78.871	0.002
3	48.898	5395	78.505	0.034

Error promedio entre valores de esfuerzos teóricos y reales en %: 2,6613

TABLA 4. Límite de resistencia a la fatiga estimado para distintos ciclos

CICLOS	LÍMITE DE RESISTENCIA A LA FATIGA ESTIMADO(Kpsi)
3000	89.997
10000	74.294
100000	58.591
1E+06	42.888



ESCUELA POLITÉCNICA DEL EJÉRCITO EXTENSIÓN LATACUNGA

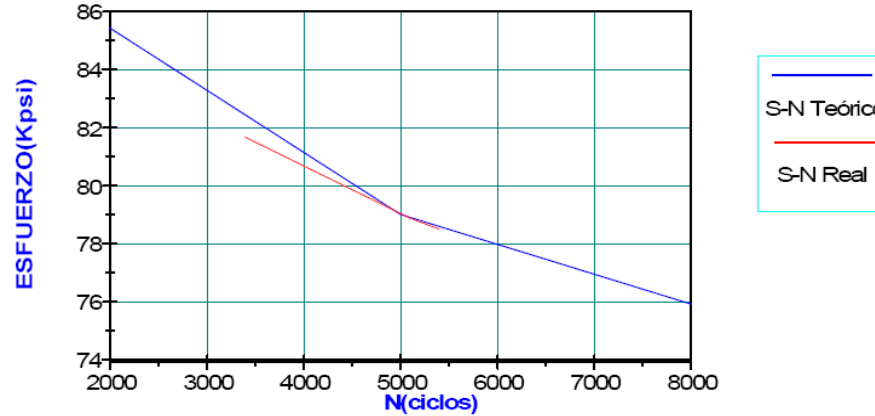


CARRERA DE INGENIERÍA
ELECTROMECAÁNICA

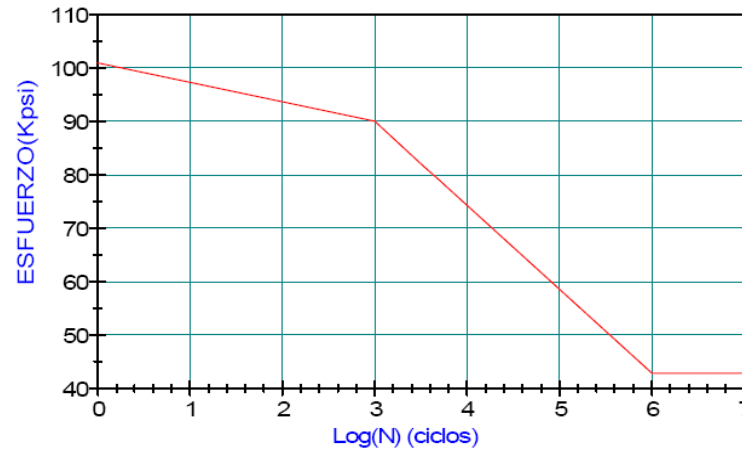
LABORATORIO DE RESISTENCIA DE MATERIALES FATIGA EN LOS METALES

Limite de Resitencia a la Fatiga estimado : **42,8883** Kpsi
Resitencia a la Fatiga estimado para bajos ciclajes : **89,997** Kpsi

Gráfica 1: Curvas S-N de valores teóricos y reales, ensayo de fatiga por flexión rotativa



Gráfica 2: Curva S-N estimada ensayo de fatiga





**ESCUELA POLITÉCNICA DEL
EJÉRCITO EXTENSIÓN LATACUNGA**

**CARRERA DE INGENIERÍA
ELECTROMECAÁNICA**



CONCLUSIONES Y RECOMENDACIONES



CONCLUSIONES

- Al término de este proyecto se obtuvo una máquina controlada con la PC que permite realizar ensayos de fatiga en los metales.
- El correcto funcionamiento mecánico de la máquina permite determinar que la construcción y selección de sus elementos fueron diseñados adecuadamente.
- Mediante el uso del microcontrolador ATMEGA 164p para la construcción de la tarjeta del sistema de adquisición de datos, se obtuvo una comunicación confiable mediante el estándar RS 232 con la PC.



- El software Labview demostró ser un programa multifuncional ya que permitió realizar diferentes tareas: la interfaz hombre-máquina, el procesamiento de datos, el control de la máquina y además facilidad para generar un reporte de la práctica en formato PDF.
- Se construyó una máquina que permitió realizar ensayos de fatiga en el acero de transmisión AISI 1018 seleccionado, en el que se pudo visualizar los diagramas S-N (Resistencia a la fatiga – número de ciclos), tanto real como estimado, mediante la utilización de una herramienta grafica para pruebas y control (Labview)
- Se encontró el límite de resistencia a la fatiga estimado del acero ensayado.



- **El desarrollo de un reporte informático, fue de suma importancia ya que en el mismo se encuentra un resumen de los resultados del ensayo de fatiga al culminar la práctica, obteniendo resultados rápidos y evitando la realización de cálculos manuales.**
- **Para el adecuado manejo de la máquina con la PC, se realizó la guía de procedimiento de la práctica donde se encuentran detalladamente los pasos que se deben seguir.**
- **Con la realización de la práctica de fatiga, se puede visualizar este fenómeno de forma más práctica, facilitando el entendimiento de este complejo problema que se encuentra presente en la mayoría de los casos de diseño de elementos de máquinas.**



RECOMENDACIONES

- Se recomienda utilizar la PC para realizar los ensayos ya que se disminuirá el tiempo de ejecución de las prácticas, porque se evitará cálculos manuales
- Verificar que la probeta presente un acabado superficial liso sin ralladuras ni muescas caso contrario los resultados no serán válidos.
- Antes de empezar cada práctica se recomienda: revisar si el sensor optoacoplador está funcionando correctamente, de lo contrario limpiar delicadamente la ranura trasmisor-receptor, lubricar la máquina, verificar si los pernos están ajustados fuertemente y por último observar si los componentes mecánicos no estén desgastados.



ESCUELA POLITÉCNICA DEL
EJÉRCITO EXTENSIÓN LATACUNGA

CARRERA DE INGENIERÍA
ELECTROMECÁNICA



- Para operar la máquina lo primero que se debe realizar es: leer el manual de usuario las veces que sea necesario, ya que el montaje y preparación de la probeta así como la aplicación de carga requiere un especial cuidado.



ESCUELA POLITÉCNICA DEL
EJÉRCITO EXTENSIÓN LATACUNGA

CARRERA DE INGENIERÍA
ELECTROMECÁNICA



GRACIAS POR SU ATENCIÓN ..

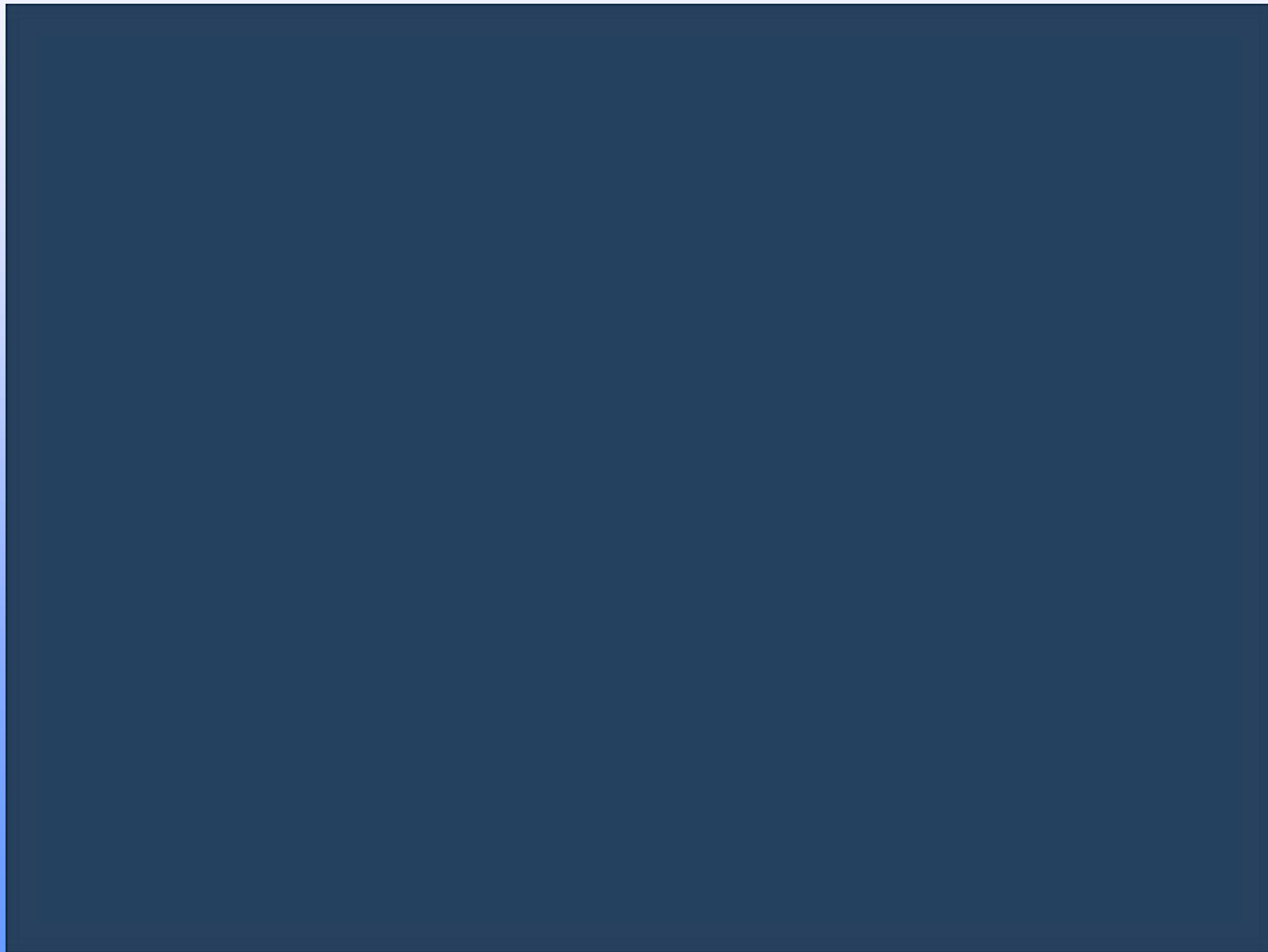


ESCUELA POLITÉCNICA DEL
EJÉRCITO EXTENSIÓN LATACUNGA

CARRERA DE INGENIERÍA
ELECTROMECAÁNICA



VIDEO DEL FUNCIONAMIENTO DE LA MÁQUINA





Diseño del eje

$$\sigma_a = \frac{32M_a}{\pi d^3} \quad M_a = \frac{M_{\text{máx}} - M_{\text{mín}}}{2} \quad \frac{S_m}{S_{ut}} + \frac{S_a}{S_f} = 1 \quad \frac{S_a}{S_f} = 1 \quad \frac{n\sigma_a}{S_f} = 1 \quad S_f = S_e$$

$$M_a = \frac{5000 - (-5000) \text{ Kg} \cdot \text{mm}}{2} \quad M_m = 0$$

$$M_a = 5000 \text{ Kg} \cdot \text{mm} \approx 433.07 \text{ pu} \cdot \text{lg} \quad \sigma_m = 0$$

$$\sigma_a = \frac{S_e}{n} \quad \frac{32M_a}{\pi d^3} = \frac{S_e}{n} \quad d = \left[\frac{n32M_a}{\pi S_e} \right]^{\frac{1}{3}} \quad d = \left[\frac{n32M_a}{\pi S_e} \right]^{\frac{1}{3}} \quad d = 0.793 \text{ pu} \cdot \text{lg} \approx 20.164 \text{ mm}$$

$$S_e = k_a k_b k_c k_d k_e k_f S'_e$$

$$S_e = 17.6319 \text{ Kpsi}$$





Diseño del rodamiento

$$L_{10h} = \frac{\text{Límite inferior} - \text{Límite superior}}{2}$$

$$C = P_d \left(\frac{L_{10h} 60n}{10^6} \right)^{\frac{1}{p}}$$

$$2481.291 < 10800$$

Diseño del motor

$$T = \frac{63000 * H}{RPM}$$

$$T = \mu * F * \frac{d}{2}$$

$$T = 0.0015 * 245 * \frac{25.4}{2}$$

$$C < C_r$$



$$T_t = 4 * 4.7 \text{ [N - mm]} = 0.166 \text{ [b - pulg]}$$

$$H = 0.00454 \text{ .HP}$$

$$H = \frac{0.166 * 1725}{63000}$$





Selección del acople.

$$C = \frac{7160H}{RPM} \quad C_a = KC \quad K = k_1 k_2 k_3 \quad C_a = 1.244. \left[N - m \right] = 10.987. \left[b - pulg \right]$$





Diseño de las barras de carga

$$\sigma_y = \frac{F}{A} \quad \sigma_1 = \sigma_y \quad \sigma' = \sigma_1 \quad \frac{4F}{\pi d^2} = \frac{S_y}{n}$$

$$d = \sqrt{\frac{4Fn}{S_y \pi}} \quad d = \sqrt{\frac{4 * 50 * 6}{25.36 * \pi}} \quad d = 3.88 \text{ [mm]}$$



Diseño de la placa de fuerza

$$\sigma_x = \frac{M_{\max} * c}{I} \quad 6 \frac{M_{\max}}{be^2} = \frac{S_y}{n} \quad e = \sqrt{\frac{6M_{\max} n}{S_y b}} \quad e = \sqrt{\frac{6 * 4195 * 4}{25.36 * 140}} \quad e = 5.325 \text{ [mm]}$$

$$c = e/2$$

$$\sigma_1 = \sigma_x$$

$$I = \frac{be^3}{12}$$

$$\sigma' = \sigma_1$$





Diseño de la placa soporte principal

$$\sigma_x = \frac{M_{\max} * c}{I} \quad 6 \frac{M_{\max}}{be^2} = \frac{S_y}{n} \quad e = \sqrt{\frac{6M_{\max} n}{S_y b}} \quad e = \sqrt{\frac{6 * 15710.62 * 4}{25.36 * 400}} = 6 \text{ mm}$$

$$c = e/2$$

$$\sigma_1 = \sigma_x$$

$$I = \frac{be^3}{12}$$

$$\sigma' = \sigma_1$$



Diseño del Marco Rígido

$$fa = \frac{V}{A}$$

$$fa \leq FA$$

$$Ia = \frac{fa}{Fa} \leq 1$$

$$fa = \frac{57.2}{0.42} = 136.2 \text{ psi} = 0.136 \text{ kpsi}$$

$$0.136 \text{ kpsi} \leq 3.19 \text{ kpsi}$$

$$Ia = \frac{0.136}{3.19} = 0.04 \leq 1$$





Diseño de Vigas Transversales.

$$\sigma_x = \frac{M_{m\acute{a}x} c}{I} \quad \frac{M_{m\acute{a}x}}{W} = \frac{S_y}{n} \quad W = \frac{M_{m\acute{a}x}}{\sigma_1}$$

$$W = \frac{225.2}{7200} = 0.031 \text{ [plg}^3 \text{]} = 0.5 \text{ [m}^3 \text{]}$$

$$W = \frac{I}{c} \quad \sigma_1 = \frac{36000}{5} = 7200 \left[\frac{lb}{\text{plg}^2} \right]$$

$$W_{yy} = 0.91 \text{ [m}^3 \text{]} = 0.05 \text{ [plg}^3 \text{]}$$

Diseño de Vigas longitudinales.

$$W = \frac{542.03}{7200} = 0.075 \text{ [plg}^3 \text{]} = 1.23 \text{ [m}^3 \text{]}$$

